



## Evaluation of accuracy of daily rainfall values TRMM, GPM, ERA5, and PERSIANN in Razavi Khorasan Province

Majid Rajabi Jaghargh<sup>1</sup> , Seyed Mohammad Mousavi Baygi <sup>\*</sup> , Seyed Alireza Araghi<sup>3</sup> , Hadi Jabari Noghabi<sup>4</sup> 

1. Ph.D. Student, Department of Water Science and Engineering, Ferdowsi University of Mashhad, Mashhad, Iran, Email: magidrajabijaghargh@mail.um.ac.ir
2. Professor, Department of Water Science and Engineering, Ferdowsi University of Mashhad, Mashhad, Iran, Email: mousavib@um.ac.ir
3. Assistant Professor, Department of Water Science and Engineering, Ferdowsi University of Mashhad, Mashhad, Iran, Email: a.araghi@um.ac.ir
4. Associate Professor, Department of Statistics, Ferdowsi University of Mashhad, Mashhad, Iran, Email: jabbarimh@um.ac.ir

| ARTICLE INFO  | ABSTRACT  |
|---|---|
| <b>Article type:</b><br>Research Paper  | Remote sensing, as a powerful tool in meteorology, is able to cover the gaps in ground measurements and provide a uniform platform for spatial analysis. However, due to the different results obtained from the accuracy and performance of sensors in different regions, it is necessary to evaluate and validate their products in each region independently. This study, therefore, aims to evaluate the performance of the satellite precipitation products (SPPs) of PERSIANN, GPM, ERA5, and TRMM in a daily rainfall scale over the Razavi Khorasan Province, against the ground observations collected from the 19 rain gauges. In this regard, 113,880 images were called to extract daily rainfall data from the above four databases. To evaluate the SPPs, statistical indices including correlation coefficient (CC), root mean square of the errors (RMSE), and percentage of bias (PBias), Kline Gupta Efficiency (KGE), and Agreement Index (d) were used. Moreover, POD, FAR, and CSI classification indices were used to evaluate the accuracy of the data presented in the indication of days with rainfall events. The climate effect was also investigated by incorporating the change in latitude. Our results revealed better performance for the ERA5 dataset with $0.2 \leq CC \leq 0.68$ , $2 \leq RMSE \leq 3.7$ , and its performance indicators have $KGE \geq 0.26$ and $d \geq 0.68$ . Regarding classification indices, ERA5 has POD and CSI higher than 0.68 and 0.3, respectively, and TRMM has relative superiority only in the FAR index. At the level of the studied area, the index analysis shows the better performance of the ERA5 database compared to other studied data. Based on the results of this research, the increase in elevation has improved some statistical indicators in some products, whereas, in some other cases, changes in elevation have a negative effect on the accuracy. In general, the ERA5 database at the point and regional scale are evaluated to have a more appropriate performance in estimating daily precipitation data, and its data can be used in meteorological and hydrological analysis. |
| <b>Article history</b>  |   |
| <b>Received:</b> 01 May 2023  |   |
| <b>Revised:</b> 01 July 2023  |   |
| <b>Accepted:</b> 08 July 2023   |   |
| <b>Published online:</b> 02 August 2023   |   |
| <b>Keywords:</b><br>Agreement index, Daily precipitation, GEE, KGE, Remote Sensing. |   |

Citation: Rajabi Jaghargh, M., Mosavi Bighi, M., Araghi, A., & Jabari Noghabi, H. (2023). Evaluation of accuracy of daily rainfall values TRMM, GPM, ERA5, and PERSIANN in Razavi Khorasan Province. *Iranian Journal of Rainwater Catchment Systems*, 11(2), 79-101.

DOR: 20.1001.1.24235970.1402.11.2.6.4

Publisher: Iranian Rainwater Catchment Systems Association

© Author(s)



\*Corresponding author: Mohammad Mousavi Baygi

Address: Department of Water Science and Engineering, Ferdowsi University of Mashhad, Mashhad, Iran.

Tel: +989153167311

Email: mousavib@um.ac.ir



## Evaluation of accuracy of daily rainfall values TRMM, GPM, ERA5, and PERSIANN in Razavi Khorasan Province

Majid Rajabi Jaghargh<sup>1</sup> , Seyed Mohammad Mousavi Baygi <sup>\*</sup> , Seyed Alireza Araghi<sup>3</sup> , Hadi Jabari Noghabi<sup>4</sup>

1. Ph.D. Student, Department of Water Science and Engineering, Ferdowsi University of Mashhad, Mashhad, Iran,  
Email: magidrajabijaghargh@mail.um.ac.ir
2. Professor, Department of Water Science and Engineering, Ferdowsi University of Mashhad, Mashhad, Iran, Email:  
mousavib@um.ac.ir
3. Assistant Professor, Department of Water Science and Engineering, Ferdowsi University of Mashhad, Mashhad,  
Iran, Email: a.araghi@um.ac.ir
4. Associate Professor, Department of Statistics, Ferdowsi University of Mashhad, Mashhad, Iran, Email: jabbarimh@um.ac.ir

### EXTENDED ABSTRACT

**Introduction:** Rainfall, due to its quantitative changes and temporal and spatial distribution, affects the climatic characteristics of each region. It is considered one of the most important climatic elements. All over the world, ground stations are the most important tools for measuring precipitation. Despite the high accuracy of rainfall measurement by ground stations, there are some problems associated with them. Although radars have solved some of these defects in rainfall measurement, they require special and expensive facilities. Today, a new horizon has been opened in the field of receiving meteorological information and processing information through remote sensing. Telemetry, as an effective and powerful tool, has reduced the problems and bottlenecks in terrestrial measurement methods and eliminated them to a great extent. The different results obtained from the accuracy and performance of remote sensing data, in the corner and on the side of the world, require that the validation of their products to evaluate the accuracy and performance should be done independently in each region.

**Methodology:** In this research, the daily rainfall data of 19 recording rain gauges operating under the Ministry of Energy have been used against the daily rainfall values of PERSIANN, GPM, ERA5, and TRMM for three normal, dry, and wet years. In this research, various statistical criteria were used to evaluate and compare the products provided by the databases with the daily rainfall values of ground stations. Pearson's correlation coefficient (CC) was used to show the degree of correlation. The root mean square of the errors (RMSE) was also used to evaluate the amount of error in the satellite data set. The KGE statistic was used to check the accuracy of the estimation of the satellite data with the rainfall time series of the rain gauge stations. The percentage of bias (PBias) was used to evaluate the tendency of the gauges to overestimate or underestimate the amount of precipitation, and the agreement index ( $d$ ) was used to evaluate the accuracy of the estimation of products provided by satellites. Finally, Taylor's diagram was used to identify the best database that provides daily precipitation. Also, POD, FAR, and CSI classification criteria were used to evaluate the ability to detect precipitation by databases.

**Results and Discussion:** This research showed that on a daily scale, the evaluated data provide different results, although they have differences in terms of temporal and spatial resolution. The GPM meter, despite benefiting from more sophisticated technology and increased spatial and temporal resolution has a weaker performance than the other products on a daily scale, and ERA5 as a database has an acceptable accuracy. The source of the difference in the products accuracy can be the non-use of the same ground stations in the production of the gridded precipitation maps used in the correction pattern of the estimated model data, as well as the incompatibility of the spatial scale between the gridded maps of the ground station precipitation and the products produced from other sources. There are some things that can be pointed out, the influence of the precipitation changes, from east to west and from south to north in the studied area, on the statistical indicators, performance and classification of the evaluated data is quite noticeable and should be considered as an important factor in statistical analysis.

**Conclusion:** This study has provided a comprehensive assessment of TRMM, GPM, ERA5, and PERSIANN daily rainfall in Razavi Khorasan Province against 19 recording rain gauges belonging to the Ministry of Energy for three wet, dry, and average years. The changes in the statistical values of the central indicators, performance,

---

\*Corresponding author: Mohammad Mousavi Baygi

Address: Department of Water Science and Engineering, Ferdowsi University of Mashhad, Mashhad, Iran..

Tel: +989153167311

Email: mousavib@um.ac.ir

and classification were analyzed for all four products, and the effects of altitude on SPPs were evaluated. The main conclusions are outlined below:

- The values of the statistical indicators for the evaluated data have relative changes in the location of the stations, but overall, ERA5 and TRMM have better performance than other gauges and databases.
- The average and results of daily rainfall statistical indicators at the level of the studied area indicate the accuracy and more suitable performance of ERA5 and TRMM.
- The performance of the evaluated products was different against the change in altitude so that some products have good performance in lowland areas and some others approach the optimal values with increasing altitude.
- Due to the proper performance of ERA5 in Razavi Khorasan Province, it is recommended to use the daily rainfall values of this database to conduct studies in which real-time is less important.

#### Ethical Considerations

**Data availability statement:** The datasets are available upon a reasonable request to the corresponding author.

**Funding:** This research has been extracted from a doctoral thesis under the support of Ferdowsi University of Mashhad.

**Authors' contribution:** Majid Rajabi Jaghreh prepared the first draft and it was edited by other authors.

**Conflicts of interest:** The authors of this article declared no conflict of interest regarding the authorship or publication of this article.

**Acknowledgment:** Khorasan Razavi Regional Water Company is thanked for providing the required statistics and information.



## ارزیابی دقت مقادیر بارش روزانه PERSIANN، ERA5، GPM و TRMM در استان خراسان رضوی

مجید رجبی جاغرق<sup>۱</sup>، سید محمد موسوی بایگی<sup>۲\*</sup>، سید علیرضا عراقی<sup>۳</sup>، هادی جباری نوقابی<sup>۴</sup>

۱. دانشجوی دکتری، گروه علوم و مهندسی آب، دانشکده کشاورزی، دانشگاه فردوسی مشهد، مشهد، ایران، magidrajabijaghargh@mail.um.ac.ir

۲. استاد، گروه علوم و مهندسی آب، دانشکده کشاورزی، دانشگاه فردوسی مشهد، مشهد، ایران، mousavib@um.ac.ir

۳. استادیار، گروه علوم و مهندسی آب، دانشکده کشاورزی، دانشگاه فردوسی مشهد، مشهد، ایران، a.araghi@um.ac.ir

۴. دانشیار، گروه آمار، دانشکده علوم ریاضی، دانشگاه فردوسی مشهد، مشهد، ایران، jabbarimh@um.ac.ir

| مشخصات مقاله         | چکیده   |
|----------------------|---|
| نوع مقاله:<br>پژوهشی | سنحش از دور به عنوان ابزاری قادر است خلاًها و شکاف‌های موجود در اندازه‌گیری‌های زمینی را پوشش داده و بستری یک پارچه برای تحلیل‌های مکانی فراهم نماید. اما با توجه به نتایج متفاوت به دست آمده، از دقت و عملکرد سنجنده‌ها در مناطق مختلف، ضروری است نسبت به ارزیابی و اعتبارسنجی محصولات آن‌ها در هر محدوده به طور مستقل اقدام شود. این مطالعه عملکرد بارندگی روزانه محصولات PERSIANN، ERA5، GPM، TRMM و PERSIANN را در استان خراسان رضوی، در مقابل مشاهدات ۱۹ باران‌سنج ثبات وزارت نیرو برای سه سال خشک، متوسط و مرطوب ارزیابی می‌کند. در این راستا برای استخراج داده‌های بارش روزانه از چهار پایگاه داده فوق، تعداد ۱۱۳,۸۸۰ تصویر فراخوانی شد، هم‌چنین، برای ارزیابی دقت از شاخص‌های آماری CC، RMSE و PBias و برای تشخیص توان عملکرد، از ضربی کلین گوپتا (KGE) و شاخص توافق (d)، در مقیاس ایستگاهی و منطقه‌ای استفاده شد. از شاخص‌های طبقه‌بندی POD، FAR و CSI نیز برای ارزیابی دقت داده‌های ارائه شده در تشخیص روزهای همراه با پیده بارش، استفاده و اثر ارتفاع بر تعییرات پارامترهای فوق ارزیابی شد. نتایج نشان داد که در مقیاس ایستگاهی، مقادیر بارش روزانه پایگاه داده ERA5 با مقادیر ERA5 با مقادیر $\text{RMSE} \leq 0.26$ و $\text{CC} \geq 0.68$ و $\text{KGE} \geq 0.68$ نسبت به سایر محصولات، دارای دقت و عملکرد بهتری است. در خصوص معیارهای طبقه‌بندی، ERA5، دارای POD و CSI بهترین بالاتر از $0.68$ است و TRMM تنها در شاخص FAR دارای $0.68 \leq d \leq 0.79$ نسبت به سایر محصولات، دارای دقت و عملکرد بهتری است. در خصوص معیارهای طبقه‌بندی، داشته و از روند ثابتی تعیین نمی‌کند. در مجموع می‌توان نتیجه گرفت که از داده‌های بارش روزانه ERA5 در تحلیل‌های آب و هواشناسی و مدل‌های هیدرولوژیکی که زمان واقعی در انجام مطالعات برای آن‌ها ضرورت ندارد، در این منطقه می‌توان استفاده نمود. |
| تاریخچه مقاله        | دریافت: ۱۱ اردیبهشت ۱۴۰۲<br>بازنگری: ۱۰ تیر ۱۴۰۲<br>پذیرش: ۱۷ تیر ۱۴۰۲<br>انتشار برخط: ۱۱ مرداد ۱۴۰۲  |
| واژه‌های کلیدی:      | بارش روزانه، شاخص توافق، KGE، GEE، سنجش از دور  |

استناد: رجبی جاغرق، مجید، موسوی بایگی، سید محمد، عراقی، سید علیرضا، و جباری نوقابی، هادی (۱۴۰۲). ارزیابی دقت مقادیر بارش روزانه PERSIANN و ERA5، GPM، TRMM در استان خراسان رضوی. سامانه‌های سطوح آبگیر باران، ۱۱(۲): ۷۹-۱۰۱.

DOR: 20.1001.1.24235970.1402.11.2.6.4



© نویسندهان

ناشر: انجمن علمی سیستم‌های سطوح آبگیر باران ایران

## مقدمه

بارندگی با توجه به تغییرات کمی و توزیع زمانی و مکانی خود، ویژگی‌های اقلیمی هر منطقه را تحت تأثیر قرار داده بنابراین از اساسی‌ترین عناصر اقلیمی محسوب می‌شود. در تمام دنیا یکی از مهم‌ترین مراجع اندازه‌گیری بارش، ایستگاه‌های باران‌سنجی است. باران‌سنج‌ها با توجه به این که به صورت نقطه‌ای قادر به اندازه‌گیری بارش با دقت نسبتاً "بالای هستند" (Rana et al., 2015; Duan Z et al., 2016) اما با مشکلاتی از قبیل هزینه بر بودن، عدم توزیع مکانی مناسب، ناکافی بودن، عدم امکان نصب در مناطق صعب‌العبور و... مواجه‌اند. رادارها در اندازه‌گیری بارش، اگرچه برخی از این نقاچی را برطرف کرده‌اند، اما نیازمندی به تأسیسات خاص، گران‌قیمت بودن تجهیزات، محدودیت پوشش مکانی و وجود خطاهای ناشناخته، استفاده از رادارهای هواشناسی را با محدودیت‌هایی همراه ساخته است (Kumar et al., 2011). امروزه، با ظهور فن‌آوری‌های پیشرفته، افق تازه‌ای در زمینه دریافت اطلاعات هواشناسی و پردازش آن‌ها از طریق سنجش از دور گشوده شده است. دورسنجی به عنوان یک ابزار مؤثر و قدرتمند، مشکلات و تنگناهای موجود در روش‌های اندازه‌گیری زمینی را کاهش داده و آن‌ها را تا حد زیادی مرتفع نموده است (Mahmud et al., 2020; Tan et al., 2016).

نتایج متفاوت به دست آمده از دقت و عملکرد داده‌های سنجش از دور، در گوشه و کنار جهان، ایجاد می‌کند تا نسبت به اعتبار سنجی محصولات آن‌ها به منظور ارزیابی دقت و عملکرد، در هر منطقه‌ای به طور مستقل اقدام شود.

اگرچه در حال حاضر اندازه‌گیری و تخمین بارندگی از طریق باران‌سنج‌های زمینی، رادارها و سنجش از دور صورت می‌گیرد، اما در شرایط کنونی ماهواره‌ها به عنوان منبع ارزشمند تولید داده، مورد اقبال قرار گرفته‌اند، زیرا دسترسی به محصولات آن‌ها آسان بوده، تقریباً تمام سطح زمین را پوشش داده و از وضوح زمانی و مکانی بالا و قابل قبولی برخوردار هستند (Lu Yi et al., 2018). در مطالعاتی که به منظور مقایسه عملکرد مقادیر تخمینی بارش روزانه، توسط رادار و ماهواره<sup>۱</sup> TRMM با داده‌های ایستگاهی در ایران انجام شد، مشخص شد، داده‌های تولیدی توسط رادار دارای همبستگی قوی با داده‌های ایستگاهی است اما محصول سنجنده TRMM با وجود تطابق الگوی بارش، جایگزین مناسبی برای ایستگاه‌های باران‌سنجی نیست ( حاجی میر حیمی و فیضیزاده، ۱۳۸۷). به منظور ارزیابی دقت و عملکرد داده‌های بارش<sup>۲</sup> PERSIANN با داده‌های زمینی در ایران، مقادیر آن‌ها با یکدیگر مقایسه شد. نتایج نشان داد که PERSIANN الگوی تغییرات بارش سالانه در ایران را به خوبی نشان می‌دهد، اما مقدار بارش را در اکثر نقاط ایران کم و در مناطق کویری زیاد برآورد می‌کند (کتیرایی بروجردی، ۱۳۹۲)، مقادیر بارش روزانه و ماهانه<sup>۳</sup> ایستگاه باران‌سنج زمینی برای ۱۹۶۰ تا ۱۳۹۲ توسط محققین استخراج شد و نسبت به ارزیابی آن‌ها با مقادیر بارش روزانه و ماهانه سنجنده<sup>۳</sup> GPM و محصول MERRA در حوضه آبریز کشف رود اقدام شد و مقادیر حاصل از تحلیل شاخص‌های آماری و طبقه‌بندی FAR و CSI و RMSE، BIAS، POD، FAR نشان داد که GPM در ارائه بارش روزانه در سطح ایستگاه و منطقه دارای برتری نسبی محسوسی نسبت به داده‌های MERRA است و در مقیاس ماهانه عکس این موضوع صادق است (علی‌بخشی و همکاران، ۱۳۹۶). در پژوهشی که با هدف بررسی و ارزیابی دقت بارش روزانه، ماهانه و فصلی در چهار ایستگاه سینوپتیک تهران با داده‌های TRMM و GPM و مخصوص شد که GPM در مقیاس روزانه، ماهانه و فصلی، به ترتیب با ضریب همبستگی ۰.۵۳، ۰.۸۳ و ۰.۸۷ درصد عملکرد مناسب‌تری نسبت به TRMM دارد (بی‌همتا و همکاران، ۱۳۹۷).

در مطالعه‌ای که به منظور ارزیابی دقت مقادیر بارش روزانه داده‌های شبکه‌بندی شده دو سنجنده TRMM و GPM صورت پذیرفت، بارش روزانه آن‌ها طی دوره ۲۰۱۴-۲۰۱۶ در مقابل بارش روزانه ۲۰۱۰-۲۰۱۴ ایستگاه منتخب هم‌بود در ایران قرار گرفت. تحلیل آماری دقت داده‌های تولید شده نسبت به ایستگاه‌های مرجع انجام شد و نتیجه حاصله حاکی از عدم دقت مطلوب مقادیر بارش روزانه این دو سنجنده در ایران است به استثنای مناطق غربی کشور و دامنه‌های زاگرس که عملکرد بهتری نسبت به سایر مناطق از خود نشان می‌دهند (میری و همکاران، ۱۳۹۷). در پژوهشی که در غرب میانه ایران انجام شد، اقدام به بررسی دقت داده‌های بارش روزانه سنجنده GPM در مقابل داده‌های بارش ۳۱ ایستگاه سینوپتیک طی سال‌های ۲۰۱۴-۲۰۱۶ شد. با بررسی ضریب همبستگی بین داده‌های سنجنده و ایستگاه‌های متناظر زمینی مشخص شد که ۰.۷۷ درصد ایستگاه‌ها دارای ضریب همبستگی کمتر از ۰/۵ بوده و تنها هفت ایستگاه از این مقدار فراتر رفته و در بهترین حالت به ۰/۵۷ محدود شده است. شاخص‌های دیگر آماری مورد استفاده همچون RMSE و BIAS نشان از سوگیری و انحراف زیاد مقادیر بارش روزانه این سنجنده نسبت به ایستگاه‌های زمینی داشت. این نتیجه حاکی از عدم قابلیت استفاده از داده‌های این سنجنده در مطالعات آب و هواشناسی است. این سنجنده به خوبی قادر به بیان الگوی فضایی بارش در منطقه بوده و می‌تواند در مقیاس‌های زمانی ماهانه و سالانه نتایج بهتری را عرضه نماید (صادقی و همکاران، ۱۳۹۷).

<sup>1</sup> Tropical Rainfall Measuring Missing

<sup>2</sup> Precipitation Estimation from Remotely Sensed Information using Artificial Neural Networks

<sup>3</sup> Global Precipitation Measurement

اکبری و همکاران (۱۳۹۸) به بررسی داده‌های بارش ماهانه سنجنده TRMM در اقلیم‌های مختلف ایران پرداختند. آن‌ها ضمن ارزیابی داده‌های بارش این سنجنده طی سال‌های ۱۹۹۸ تا ۲۰۱۴ در مقابل ۴۱ ایستگاه سینوپتیک نشان دادند که TRMM در اقلیم‌های خشک بیش برآورد دارد و در مناطق پر باران کم برآورد می‌کند، اما در مجموع دارای عملکرد مناسبی در ایران است. در تحقیقی که روی مقادیر بارش روزانه، ماهانه و سالانه استخراج شده از ۷۰ ایستگاه سینوپتیک، کلیماتولوژی و باران‌سنجی در محدوده استان اردبیل طی سال‌های ۱۴۰۴ تا ۱۴۰۶ انجام شد، نسبت به مقایسه مقادیر بارش ایستگاه‌های زمینی با مقادیر بارش باز تحلیل شده از پایگاه داده<sup>۱</sup> ERA5 اقدام شد و با استفاده از تحلیل شاخص‌های آماری CC و RMSE و شاخص‌های جدول توافقی شامل POD، FAR و CSI و POFD این نتیجه حاصل شد که مقادیر بارش روزانه و ماهانه باز تحلیل شده توسط پایگاه داده ERA5 می‌تواند پس از تصحیح اریبی به عنوان جایگزین مناسب برای نقاط فاقد ایستگاه زمینی مورد استفاده قرار گیرد (عزیزی و همکاران، ۱۳۹۹).

مطالعه‌ای دیگر روی نمایه‌های حدی بارش در کشور ایران طی سال‌های ۲۰۰۰ تا ۲۰۱۷ کارایی چهار پایگاه داده TRMM، GPM، ERA5 و PERSIANN را برای R95P در مقابل داده‌های R20mm، R10mm، CDD، Rx1day، Rx5day و R5mm می‌نماید. ایستگاه همدید مورد ارزیابی قرار داده است. این مطالعه کشور را با استفاده از روش مولفه‌های اصلی (PCA) به شش ناحیه اقلیمی متمایز، تفکیک نموده و نشان داد که بر اساس شاخص‌های آماری، ERA5 دارای بهترین عملکرد برای نمایه بارش حدی روزانه است و TRMM و GPM از عملکرد قابل قبولی در برآورد نمایه‌های بارش حدی روزانه برخوردارند اما PERSIANN فاقد کارایی لازم است (نجفی و همکاران، ۱۴۰۱). در کشور چین نسبت به ارزیابی عملکرد دو سنجنده TRMM و GPM از آوریل ۲۰۱۴ تا اوت ۲۰۱۷ با استفاده از یک مدل رگرسیونی مبتنی بر توپوگرافی اقدام شد و نشان دادند، هر دو سنجنده دارای سوگیری مثبت در ارائه مقادیر بارش هستند و محصولات GPM دارای عملکرد بهتری نسبت به TRMM است (Lu Yi et al., 2018)، همچنین پژوهشگران دیگری در این کشور، با مطالعه‌ای بر دشت هوانگ هوای چین محصولات بارش دو سنجنده GPM و TRMM را در مقیاس‌های زمانی مختلف طی سال‌های ۲۰۱۵ تا ۲۰۱۷ با بارش روزانه ۵۹ ایستگاه زمینی متعلق به سازمان هوافضای این کشور مورد ارزیابی قرار دادند. آن‌ها نتیجه گرفتند که در مقیاس ماهانه و سالانه ارتباط قوی‌تری نسبت به مقیاس روزانه بین بارش‌های تخمين زده شده سنجنده‌ها و ایستگاه‌های زمینی وجود دارد و سنجنده GPM در تشخیص بارندگی عملکرد بهتری داشته است، اما هر دو سنجنده دارای سوگیری مثبت در تخمين بارش هستند (Xu Fenglin et al., 2019). در مطالعه‌ای که بر رودخانه یانگ تسه چین انجام شد، داده‌های سنجنده GPM را با بارش‌های شدید رویداده بر روی حوضه آبریز این رودخانه طی سال‌های ۲۰۱۷ مورد ارزیابی قرار داده و نشان دادند، مقادیر تخمينی سنجنده GPM در مقیاس ماهانه و در مناطق مرتفع هم‌خوانی خوب و عملکرد مناسبی از خود نشان می‌دهد، اما در مقیاس زمانی روزانه از تطابق کمتری برخوردار است. اگر چه بارش‌های شدید به خوبی توسط GPM در این ناحیه تخمين زده شده و دارای ضریب همبستگی پیرسون بالا است، اما در کل نسبت به داده‌های حاصل از ایستگاه‌های باران‌سنجی دارای سوگیری منفی است (Liu Jingyu et al., 2020). طی مطالعه موردي که در منطقه Counus با هدف بررسی اعتبار محصولات بارشی دو سنجنده TRMM و GPM طی سال‌های ۲۰۰۰ تا ۲۰۱۹ با شبکه داده‌های PRISM<sup>۲</sup> صورت گرفت، دریافتند علیرغم افزایش وضوح زمانی و مکانی سنجنده GPM، برخی از معیارهای آماری در مقایسه با TMPA بهبود قابل توجهی نشان نمی‌دهد. عملکرد هر دو محصول ماهواره‌ای در فصول تابستان و زمستان متفاوت بوده، اما هر دو در فصل تابستان دارای عملکرد بالایی هستند. IMERG<sup>۳</sup> در فصول و مناطق مختلف، در مقیاس‌های زمانی و شرایط توپوگرافی ناهمگون، متفاوت بوده، اما نسبت به محصول روزانه TMPA برتری دارد (Pirmoradian et al., 2022).

انتخاب استان خراسان رضوی به عنوان منطقه هدف دراین تحلیل دسترسی به داده‌های استخراج شده از گراف‌های باران‌سنج‌های ثبات وزارت نیرو برای تحلیل‌های آماری بوده است.

آن‌چه نقطه قوت و وجہ تمایز این پژوهش با سایر مطالعات گذشته است، عبارت است از:

- استفاده از داده‌های مستخرج از گراف‌های باران‌سنج های ثبات وزارت نیرو دراستان خراسان رضوی با گام زمانی نیم ساعته و انطباق با زمان مرجع جهانی و سپس تجمعی آن‌ها برای بهدست آوردن بارش روزانه، به عنوان داده‌های ناشناخته برای شبکه جهانی که در واسنجی محصولات سنجنده‌ها مورد استفاده قرار می‌گیرند، این فرآیند می‌تواند به صورت موثری اعتبارسنجی محصول سنجنده‌ها را مورد ارزیابی قرار دهد.

<sup>1</sup> ECMWF reanalyses V5

<sup>2</sup> Parameter-elevation Regressions on Independent Slopes Model

<sup>3</sup> Integrated Multi-satellitE Retrievals for GPM

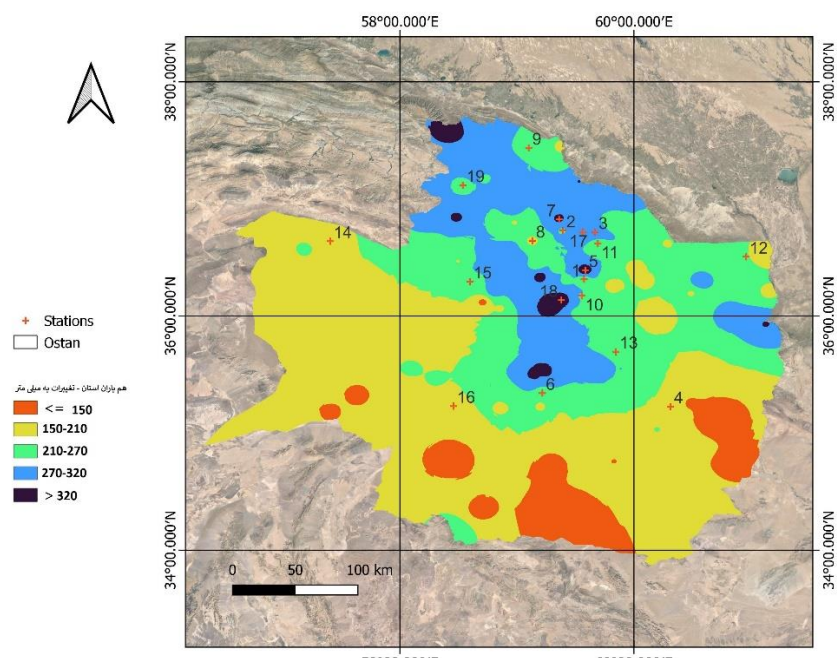
- دامنه تغییرات ارتفاعی متنوع ایستگاه‌های باران سنج ثبات وزارت نیرو نسبت به ایستگاه‌های همدید می‌تواند در فرآیند ارزیابی دقت و عملکرد تأثیرگذار باشد.

- بررسی اثر تغییر ارتفاع بر میزان دقت و عملکرد محصول سنجندها در منطقه مورد مطالعه که پژوهش داخلی در این زمینه یافت نشد.

- بررسی همزمان چهار محصول بارش روزانه پایگاه‌های TRMM، GPM، ERA5 و PERSIANN با ایستگاه‌های زمینی خارج از شبکه تعریف شده جهانی.

## مواد و روش تحقیق محدوده مورد مطالعه

استان خراسان رضوی دارای وسعتی بالغ بر ۱۱۷ هزار کیلومتر مربع است که حدود ۸ درصد مساحت کشور را به خود اختصاص داده است، از این وسعت، ۴۹/۲ درصد آن را مناطق کوهستانی و بقیه را مناطق دشتی و کم ارتفاع تشکیل داده‌اند. مرتفع‌ترین نقطه آن در قله بینالود با ارتفاع ۳۳۳۹ متر و پست‌ترین آن در دشت سرخس با ارتفاع ۲۹۹ متر از سطح دریا قرار دارد. این استان به لحاظ اقلیمی، بر اساس شاخص آمیرژه دارای اقلیم خشک سرد است و از نظر متوسط بارش سالانه، مقداری حدود ۲۵۴ میلی‌متر در سال را دریافت می‌کند. دامنه تغییرات بارندگی در این استان، مقادیری کمتر از ۱۵۰ میلی‌متر در جنوب، تا بیش از ۳۲۰ میلی‌متر در نواحی مرکزی و شمال غربی است. شکل ۱ نقشه همباران استان خراسان رضوی و همچنین توزیع مکانی ایستگاه‌های باران سنج ثبات وزارت نیرو را نمایش می‌دهد.



شکل ۱- نقشه متوسط بارش استان خراسان رضوی (۱۳۶۹-۹۹) و پراکندگی مکانی ایستگاه‌های باران سنج ثبات وزارت نیرو  
Figure 1- Average precipitation map of Razavi Khorasan Province (1990-2020) and spatial distribution of automatic rain gauge stations of the Ministry of Energy

### جدول ۱- مشخصات ایستگاه‌های باران‌سنجی ثبات وزارت نیرو مورد استفاده در پژوهش

Table 1 - Specifications of the automatic rain gauge stations of the Ministry of Energy used in the research

| شناسه | مشخصات جغرافیایی |              |                     | ایستگاه | شناسه | مشخصات جغرافیایی |              |                   | ایستگاه | شناسه |
|-------|------------------|--------------|---------------------|---------|-------|------------------|--------------|-------------------|---------|-------|
|       | ID               | ارتفاع (متر) | UTM_Y               | UTM_X   |       | ID               | ارتفاع (متر) | UTM_Y             | UTM_X   |       |
| 1265  | 4056093          | 740695       | سد کاردہ            | 11      | 970   | 4021779          | 731051       | اداره مشهد        | 1       |       |
| 273   | 4044721          | 334933       | سرخس                | 12      | 1320  | 4067524          | 713648       | اردک بند ساروج    | 2       |       |
| 1415  | 3953876          | 757541       | فریمان              | 13      | 1452  | 4066787          | 738162       | آل                | 3       |       |
| 1138  | 4054892          | 536166       | کارخانه قند جوین    | 14      | 938   | 3900564          | 281783       | باغسنگان تربت جام | 4       |       |
| 1199  | 4017696          | 643474       | کارخانه قند نیشاپور | 15      | 1920  | 4030506          | 731838       | بلغور             | 5       |       |
| 1054  | 3899535          | 632645       | کاشمر               | 16      | 1468  | 3913151          | 701468       | تربت حیدریه       | 6       |       |
| 1561  | 4066633          | 728919       | گوش بالا            | 17      | 1540  | 4078183          | 710544       | تلغور             | 7       |       |
| 1770  | 4001739          | 714070       | معان                | 18      | 1170  | 4057482          | 690538       | چناران            | 8       |       |
| 1333  | 4108912          | 636561       | هی هی قوچان         | 19      | 492   | 4145323          | 685794       | درگز              | 9       |       |
|       |                  |              |                     |         | 1240  | 4006132          | 729587       | سد طرق            | 10      |       |

### داده‌های مورد استفاده

در این تحقیق از داده‌های بارش روزانه ۱۹ ایستگاه باران‌سنج ثبات وزارت نیرو که موقعیت و مشخصات آن در شکل ۱ و جدول ۱ ارائه شده است، به همراه مقادیر بارش روزانه ERA5، GPM، TRMM و PERSIANN برای سال‌های ۱۳۹۴-۱۳۹۷، ۱۳۹۳-۱۳۹۶ و ۱۳۹۸-۱۳۹۷ به ترتیب به عنوان سال نرمال، خشک و مرطوب استفاده شده است.

### داده‌های ایستگاه‌های باران‌سنجی

با توجه به اطلاعات منتشر شده توسط مدیریت منابع آب ایران در خصوص متوسط بارش استان خراسان رضوی طی دوره آماری ۴۰ ساله مختوم به سال ۱۴۰۰ هجری شمسی، سه سال آبی ۹۴-۹۳-۹۲، ۹۷-۹۶-۹۵ و ۹۸-۹۷-۹۶ به عنوان سال‌های به ترتیب نرمال، خشک و مرطوب شناسایی و از گراف باران‌سنج‌های ثبات، مقادیر بارش‌های رخداده با گام زمانی نیم ساعته استخراج شد. زمان و مقادیر این رویدادها با زمان مرجع بین‌المللی (UTC)<sup>۱</sup>، منطبق شد و بارش روزانه با جمع مقادیر ساعتی محاسبه شد. اصلی‌ترین دلایل انتخاب باران‌سنج‌های ثبات وزارت نیرو در این پژوهش، توزیع مکانی آن‌ها در ارتفاعات مختلف و عدم استفاده از داده‌های آن‌ها در فرآیند تولید و واسنجی محصولات سنجنده‌ها و پایگاه‌های داده است.

### داده‌های ماهواره‌ای

در حال حاضر، سنجنده‌های مختلف و پایگاه‌های داده متعددی مقادیر بارندگی با وضوح زمانی و مکانی متفاوت را مخابره می‌نمایند که PERSIANN، ERA5، GPM، TRMM و ERA5 از آن جمله هستند. ماهواره TRMM در سال ۱۹۹۷ به فضا پرتاب شد و به عنوان نخستین تلاش قابل اعتماد جهانی برای اندازه‌گیری پدیده بارش به دنیا معرفی شد (Smith et al., 2007). این ماهواره در ارتفاع ۳۵۰ کیلومتری زمین، با زوایه‌ی میل ۳۵ درجه نسبت به استوار قرار گرفته و وضوح مکانی آن  $0.25 \times 0.25$  درجه و تفکیک زمانی آن سه ساعته است، که اطلاعات بارشی حد فاصل ۵۰ درجه عرض جغرافیایی شمالی تا ۵۰ درجه عرض جغرافیایی جنوبی را در بر می‌گیرد (Yu et al., 2021). در فوریه سال ۲۰۱۴ نسل جدیدی از ماهواره‌های تخمین بارش با نام GPM (Huffman et al., 2007; Kummerow et al., 1998) به عنوان جانشین TRMM در مدار قرار گرفت که هدف اصلی آن تخمین دقیق بارش در سطح جهان بود (Hou et al., 2014). این سنجنده در ارتفاع ۴۰۷ کیلومتری از سطح زمین قرار گرفت و قابلیت اندازه‌گیری بارش برف و باران را دارد (Huffman et al., 2019). است، وضوح مکانی و زمانی این سنجنده، به ترتیب  $0.1 \times 0.1$  درجه و ۳۰ دقیقه است که اطلاعات آن از اوایل سال ۲۰۱۴ در دسترس قرار دارد (Huffman et al., 2015). GPM قادر به مخابره اطلاعات بارشی در حد فاصل ۶۰ درجه عرض جغرافیایی شمالی تا ۶۰ درجه عرض جغرافیایی جنوبی است که از این بابت سطح وسیع تری از کره زمین را نسبت به TRMM پوشش می‌دهد (Pirmoradian et al., 2022). ERA5 نسل پنجم تجزیه و بازتحلیل مقادیر پدیده‌های جوی است که داده‌های خروجی آن مبتنی بر اطلاعات استخراج شده از مدل

<sup>۱</sup> Coordinated Universal Time

است که تجزیه و باز تحلیل اطلاعات در آن با تأثیر مشاهدات زمینی، انجام می‌شود، متغیرهای جوی در این پایگاه با وضوح زمانی حداقل یک ساعته و دقت مکانی  $0/25 \times 0/25$  درجه از سال ۱۹۷۵ میلادی با تأخیر اندکی نسبت به زمان واقعی در دسترس است. با پیشرفت روز افزون در حوزه یادگیری ماشین و پیوند آن با اطلاعات سنجش از دور، مقادیر بارش بر اساس اطلاعات دریافت شده دمای روشنایی مادون قرمز ابر قبل تخمین است (Ashouri et al., 2015). پایگاه داده PERSIANN یک الگوریتم تخمین بارندگی با استفاده از ابزار سنجش از دور است که ساختار آن بر پایه شبکه عصبی مصنوعی بنا شده است (Sorooshian S et al., 2002). بارش در این پایگاه با وضوح زمانی حداقل یک ساعته و دقت مکانی  $0/04 \times 0/04$  درجه در دسترس است.

به منظور ارزیابی دقت مکانی، زمانی و مقدار بارش ارائه شده توسط سنجندها در محدوده استان خراسان رضوی، از داده‌های تولید شده توسط دو سنجنده TRMM و GPM و دو پایگاه داده ERA5 و PERSIANN استفاده شد. این مقادیر مطابق با سال‌های آبی متناظر ایستگاه‌های زمینی، از سامانه متن باز و تحت وب GEE<sup>۱</sup> استخراج شد. در این پژوهش، محصول مورد استفاده از سنجنده‌های GPM,TRMM بهتری IMERG-V06 و 3B42-V7 و ERA5\_LAND/HOURLY برای پایگاه داده ERA5 از محصول استفاده شده است. همچنین مقادیر ساعتی بارش برای محصول PERSIANN از پایگاه داده به آدرس اینترنتی <https://CHRSdata.eng.uci.edu> استخراج شد.

## روش تحقیق پردازش داده‌ها

مقادیر بارش ایستگاه‌های باران‌سنجی ثبات وزارت نیرو به صورت نیم ساعته از گراف‌های باران نگار هر ایستگاه برای سال‌های نرمال، خشک و مرطوب، استخراج شد و به دنبال آن مقادیر متناظر با داده‌های زمینی، از بانک اطلاعاتی پایگاه‌های داده مورد استفاده در این پژوهش توسط کدنویسی در سامانه تحت وب و متن باز GEE استخراج شد. با توجه به اختلاف زمان برداشت داده بین باران‌سنج وزارت نیرو و سنجنده‌ها، داده‌ها از نظر زمانی، بر یکدیگر منطبق شدند و پس از آن با جمع مقادیر بارش کوتاه مدت، بارش روزانه محاسبه شد.

## معیارهای ارزیابی

به طور کلی برای مقایسه بین چندین منبع تولید اطلاعات یکسان و تشخیص بهترین منبع از شاخص‌های آماری و عملکردی برای تعیین دقت محصولات استفاده می‌شود. در این پژوهش نیز از معیارهای آماری مختلفی برای ارزیابی و مقایسه محصولات ارائه شده توسط پایگاه‌های داده با مقادیر بارش روزانه ایستگاه‌های زمینی استفاده شد. توابع آماری شاخص‌های مورد استفاده، در جداول‌های ۲ و ۳ ارائه شده است. از ضریب همبستگی پیرسون (CC)<sup>۲</sup> (رابطه ۲)، برای نشان دادن میزان همبستگی بین مقادیر ثبت شده توسط باران‌سنج‌ها و محصولات ارائه شده ماهواره‌ای استفاده شد. همچنین، از میانگین ریشه دوم خطاهای (RMSE)<sup>۳</sup> (رابطه ۳) برای ارزیابی مقدار خطای در مجموعه داده‌های ماهواره‌ای استفاده شد. از آماره KGE<sup>۴</sup> (رابطه ۴) نیز برای بررسی دقت تخمین داده‌های ماهواره با در نظر گرفتن فاصله بین میانگین و واریانس سری‌های زمانی بارش ایستگاه‌های باران‌سنجی و داده‌های ماهواره‌ای و همچنین ضریب همبستگی آن‌ها استفاده شد. این شاخص بهدلیل در نظر گرفتن تأثیر ضریب همبستگی، بایاس و ضریب تعییرات در ارزیابی دقت مدل‌ها، از کاربرد فراوانی برخوردار است (Gupta et al., 2009, 2012, Yu et al., 2021). درصد سوگیری (Pbias)<sup>۵</sup> (رابطه ۴)، برای ارزیابی تمایل سنجنده‌ها به بیش برآورد یا کم برآورد مقادیر بارش استفاده شد (Sorooshian et al., 1993). از شاخص توافق (d)<sup>۶</sup> (رابطه ۵) در ارزیابی دقت تخمین محصولات ارائه شده توسط ماهواره‌ها به عنوان یک شاخص معتبر در کار دیگر شاخص‌ها استفاده شد (Willmott et al., 1985).

<sup>1</sup> European Centre for Medium-Range Weather

<sup>2</sup> Google Earth Engine

<sup>3</sup> Correlation Coefficient

<sup>4</sup> Root Mean Square Error

<sup>5</sup> Kling Gupta Efficiency

<sup>6</sup> Percentage bias

<sup>7</sup> Index of agreement

## جدول ۲- شاخص‌های آماری مورد استفاده در ارزیابی و عملکرد مقادیر بارندگی روزانه

Table 2- Statistical indicators used in the evaluation and performance of daily rainfall values

| مقدار بهینه | دامنه تغییرات          | واحد      | معادله   | رابطه |
|-------------|------------------------|-----------|--|-------|
| ۰           | ( $-\infty, +\infty$ ) | متغیر     | $e_i = S_i - G_i$  | (۱)   |
| -۱ و +۱     | [ $-1, 1$ ]            | بدون واحد | $CC = \frac{1}{n} \sum_{i=1}^n (S_i - \bar{S}) - (G_i - \bar{G})$                                    | (۲)   |
| ۰           | ( $0, +\infty$ )       | متغیر     | $RMSE = \sqrt{\frac{1}{n} \sum_{i=1}^n e_i^2}$   | (۳)   |
| ۰           | ( $-\infty, +\infty$ ) | %         | $Pbias = 100 \frac{\sum_{i=1}^n e_i}{\sum_{i=1}^n G_i}$  | (۴)   |
| ۱           | [ $0, 1$ ]             | بدون واحد | $d = 1 - \left( \frac{\sum_{i=1}^n e_i^2}{\sum_{i=1}^n ( S_i - \bar{S}  +  G_i - \bar{G} )} \right)$ | (۵)   |
| ۱           | ( $-\infty, +1$ )      | بدون واحد | $KGE = 1 - \sqrt{(CC - 1)^2 + (\beta - 1)^2 + (\gamma - 1)^2}$                                       | (۶)   |

در روابط مندرج در جدول ۲،  $n$  تعداد نمونه،  $G$  مقادیر ثبت شده توسط باران‌سنج،  $S$  مقادیر شبیه‌سازی شده توسط سنجنده،  $\bar{S}$  و  $\bar{G}$  به ترتیب میانگین مقادیر تخمین زده شده بارش توسط سنجنده و باران‌سنج است. همچنین تغییرات بارش توسط دو پارامتر  $\sigma_S$  و  $\sigma_G$  برآورده شد که نشان‌دهنده انحراف استاندارد مقادیر ثبت شده باران توسط باران‌سنج و بارش ماهواره‌ای است. مجدد میانگین مربع خطایها (RMSE) به عنوان میانگین مجدد اختلاف بین  $Gn$  و  $Sn$  محاسبه می‌شود و مقدار آن همواره عددی غیرمنفی است که مقادیر کوچک‌تر نشان‌دهنده عملکرد بهتر پایگاه داده در تخمین مقادیر شبیه‌سازی شده است. شاخص KGE شامل سه عبارت:  $\beta = \frac{e_i}{\sigma_S \sigma_G}$  (که نشان‌دهنده نسبت بین میانگین بارش ماهواره‌ای ( $\mu_S$ ) و میانگین بارش باران‌سنج ( $\mu_G$ ) است)،  $\gamma = \frac{CV_S}{CV_G}$  (نسبت تغییرپذیری) است که از نسبت بین ضریب تغییرات مرتبط با بارش‌های ماهواره‌ای  $CV_S$  و داده‌های باران‌سنج  $CV_G$  حاصل می‌شود ( $\gamma = \frac{CV_S}{CV_G}$  و به طور مشابه،  $\beta = \frac{\sigma_S}{\sigma_G}$  است). دامنه تغییرات KGE در بازه  $[-\infty, +1]$  بوده و مقادیر بزرگ‌تر نشان‌دهنده عملکرد بهتر در شبیه‌سازی مقادیر بارش توسط پایگاه داده است. شاخص  $d$  نیز مقداری مثبت بین صفر و یک را اختیار می‌کند، هر چه این مقدار به عدد یک نزدیک‌تر باشد، نشان‌دهنده عملکرد مناسب‌تر مدل در تخمین داده‌هاست.

برای ارزیابی قابلیت تشخیص بارش، توسط پایگاه‌های داده، از معیارهای طبقه‌بندی موجود در جدول توافقی استفاده شد. شاخص موفقیت بحرانی CSI<sup>۱</sup> (رابطه ۹)، توانایی سنجنده را در تشخیص رویداد بارش ارزیابی می‌کند وتابع احتمال تشخیص POD<sup>۲</sup> (رابطه ۷)، بیانگر نسبت تشخیص رویداد (سنجنده و ایستگاه هر دو رویداد را ثبت نموده‌اند) به تعداد کل رویدادهای ثبت شده در ایستگاه است. نسبت هشدار نادرست FAR<sup>۳</sup> (رابطه ۸)، معکس کننده نسبت تعداد تشخیص رویداد فقط توسط سنجنده به مجموع تعداد رویدادهایی که به صورت همزمان توسط سنجنده و ایستگاه تشخیص داده شده‌اند و تعداد رویدادهایی که توسط سنجنده تشخیص داده شده اما در ایستگاه ثبت نشده است، است. دامنه تغییرات هر سه شاخص بین صفر و یک متغیر بوده و مقدار بهینه برای CSI و POD عدد یک و برای FAR عدد صفر است (Yu et al., 2021).

<sup>1</sup> Critical Success Index<sup>2</sup> Probability of Detection<sup>3</sup> False Alarm Ratio

جدول ۳- شاخص‌های طبقه‌بندی مورد استفاده برای مقادیر بارندگی روزانه  
Table 3- Classification indices used for daily rainfall values

| رابطه | معادله  | واحد      | دامنه تغییرات | مقدار بهینه |
|-------|---|-----------|---------------|-------------|
| (7)   | $POD = \frac{H}{H + M}$   | بدون واحد | [0,1]         | 1           |
| (8)   | $FAR = \frac{F}{H + F}$   | بدون واحد | [0,1]         | 0           |
| (9)   | $CSI = \frac{H}{H + M + F} = \frac{1}{\frac{1}{1-FAR} + \frac{1}{1-POD} - 1}$ | بدون واحد | [0,1]         | 0           |

در معادلات ارائه شده در جدول ۳، H رویداد بارشی است که توسط باران‌سنج و ماهواره به‌طور همزمان شناسایی می‌شود؛ M رویداد بارشی است که توسط باران‌سنج تشخیص داده می‌شود اما توسط ماهواره شناسایی نمی‌شود و F از نظر تعريف عکس M است. محاسبه شاخص‌های فوق نیازمند به تعريف یک آستانه برای تشخیص روزهای همراه با پدیده باران است. از این‌رو، با توجه به این‌که در این پژوهش، داده‌های اخذ شده از باران‌سنج‌ها و سنجنده‌ها دارای تفکیک زمانی روزانه هستند، بنابراین از نظر مقدار، ۰/۱ میلی‌متر در روز به عنوان آستانه برای تعیین وقوع بارش در نظر گرفته شد. این آستانه بر اساس تعريفی که توسط سازمان هواشناسی کشور از روز بارانی ارائه شده است، انتخاب شد.

## نتایج

### ارزیابی شاخص‌های آماری و طبقه‌بندی

به منظور مقایسه، ارزیابی و شناخت بهترین پایگاه داده، از میان PERSIANN، TRMM، GPM، ERA5 در محدوده استان خراسان رضوی که بارندگی روزانه را ارائه می‌نمایند، اقدام به بررسی شاخص‌های آماری، عملکرد و طبقه‌بندی برای ۱۹ ایستگاه باران‌سنج ثبات شد.

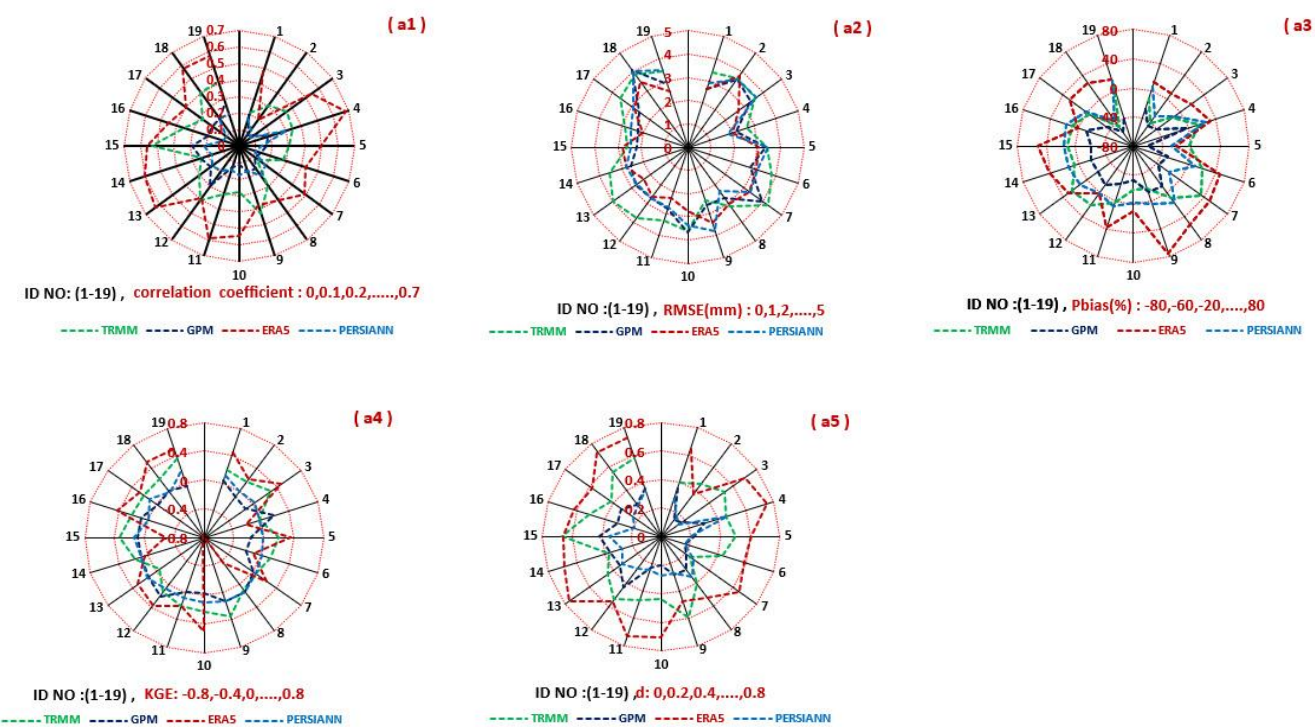
### شاخص‌های آماری و عملکرد

مقادیر شاخص‌های آماری و عملکرد محصولات تولید شده دو سنجده ERA5 و GPM و دو پایگاه داده PERSIANN برای ۱۹ ایستگاه باران‌سنج ثبات واقع در محدوده مطالعاتی در جدول ۴ ارائه شده و تغییرات شاخص‌ها در شکل ۲ نشان داده شده است، بر این اساس می‌توان اظهار داشت، ضریب همبستگی پایگاه داده ERA5 در کلیه ایستگاه بالاتر از سایر محصولات ارائه شده قرار دارد و همچنین مقادیر RMSE تقریباً در کلیه ایستگاه‌ها برای محصول بارش روزانه ERA5 از کمترین مقدار برخوردار است. در تمامی ایستگاه‌ها، درصد سوگیری (Pbias) داده‌های GPM و PERSIANN کمترین مقدار بوده و داده‌های ERA5 بیشترین جهت‌گیری مثبت را از خود نشان داده است. بررسی شاخص‌های عملکرد KGE و توافق (d) برای کلیه محصولات تولید شده در همه ایستگاه‌ها، نشان از برتری محصول ERA5 و TRMM دارد.

جدول ۴- مقادیر شاخص‌های آماری و عملکرد در محل ایستگاه‌های باران‌سنجی ثبات وزارت نیرو واقع در استان خراسان رضوی

Table 4- Values of statistical indicators and performance at the location of stability rain gauge stations of the Ministry of Energy located in Razavi Khorasan Province

| شاخص آماری   | سنجنده / پایگاه داده |       |       |        |       |        |       |         |       |       |       |       |           |       |         |      |       |       |       |  |
|--------------|----------------------|-------|-------|--------|-------|--------|-------|---------|-------|-------|-------|-------|-----------|-------|---------|------|-------|-------|-------|--|
|              | منان                 | گوش   | کاشمر | بنشادر | جوبن  | فریمان | سرخس  | سدکارده | سدطرف | درگز  | چمنان | تغور  | مرت جهربه | بنغور | باغستان | آل   | اردک  | مشهد  | مشهد  |  |
| TRMM         | 0.4                  | 0.4   | 0.3   | 0.4    | 0.5   | 0.2    | 0.3   | 0.4     | 0.3   | 0.3   | 0.4   | 0.3   | 0.1       | 0.3   | 0.3     | 0.3  | 0.4   | 0.3   | 0.2   |  |
| GPM          | 0.3                  | 0.2   | 0.2   | 0.2    | 0.3   | 0.2    | 0.2   | 0.3     | 0.1   | 0.1   | 0.2   | 0.2   | 0.1       | 0.1   | 0.2     | 0.2  | 0.1   | 0.3   | 0.2   |  |
| ERA5         | 0.6                  | 0.6   | 0.4   | 0.4    | 0.6   | 0.2    | 0.6   | 0.4     | 0.6   | 0.5   | 0.4   | 0.4   | 0.5       | 0.4   | 0.5     | 0.7  | 0.5   | 0.2   | 0.5   |  |
| PERSIANN     | 0.2                  | 0.2   | 0.1   | 0.1    | 0.2   | 0.2    | 0.2   | 0.1     | 0.2   | 0.2   | 0.2   | 0.2   | 0.1       | 0.1   | 0.3     | 0.1  | 0.1   | 0.2   |       |  |
| CC           | 10.1                 | -47.1 | -5.1  | 8.3    | 11.8  | 5.7    | 24.8  | 19.7    | 2.1   | -20.4 | -18.5 | 8.4   | 35.2      | 20.6  | 0.0     | 15.7 | -14.5 | -40.6 | -10.6 |  |
| GPM          | -39.6                | -55.2 | -35.8 | -10.9  | -22.3 | -18.9  | -19.7 | -13.7   | -24.6 | -33.6 | -13   | -12.5 | -36.4     | -30.5 | -60.7   | -1.2 | -40.4 | -45.4 | -26.5 |  |
| ERA5         | 17                   | 27.6  | 28.6  | 0.8    | 51.8  | 40.7   | 31    | 1.2     | 38.9  | 9.4   | 76.4  | 52.8  | 50.1      | 46.3  | -21.7   | 32.4 | 18.2  | 9.3   | 12.3  |  |
| PERSIANN     | 13.6                 | -37.1 | -0.4  | 17.2   | 15.5  | 14.6   | 10.9  | 1.4     | 7.8   | -1.7  | 3.4   | 16.4  | -18.7     | 9.8   | -27.2   | 24.6 | -10.5 | -28.9 | 5.6   |  |
| RMSD(mm/dav) | 3.4                  | 3.9   | 3.6   | 2.9    | 2.6   | 3.6    | 4.0   | 3.8     | 3.3   | 3.6   | 2.4   | 3.1   | 4.3       | 3.8   | 3.4     | 2.7  | 3.6   | 3.6   | 3.4   |  |
| GPM          | 2.8                  | 4.1   | 2.6   | 2.2    | 2.2   | 2.6    | 2.8   | 2.7     | 2.8   | 3.7   | 2.589 | 2.7   | 4.0       | 2.8   | 3.4     | 2.2  | 3.4   | 3.6   | 2.7   |  |
| ERA5         | 2.5                  | 3.4   | 2.8   | 2.0    | 2.8   | 2.8    | 2.3   | 2.6     | 2.3   | 2.8   | 3.4   | 3.0   | 3.3       | 3.1   | 3.1     | 2.0  | 2.7   | 3.8   | 2.6   |  |
| PERSIANN     | 3.5                  | 4.0   | 2.9   | 2.6    | 2.4   | 2.8    | 2.7   | 2.7     | 2.7   | 3.4   | 3.8   | 2.3   | 3.3       | 3.1   | 3.5     | 1.8  | 3.6   | 3.6   | 2.9   |  |
| KGE          | 0.4                  | 0.2   | 0.2   | 0.2    | 0.3   | 0.2    | -0.1  | 0.1     | 0.2   | 0.2   | 0.3   | 0.1   | 0.0       | 0.1   | 0.2     | 0.0  | 0.3   | 0.2   | 0.2   |  |
| GPM          | -0.1                 | 0.0   | 0.0   | 0.1    | 0.1   | 0.1    | 0.2   | 0.0     | 0.0   | 0.1   | 0.1   | 0.0   | -0.2      | -0.2  | 0.2     | -0.1 | -0.1  | 0.0   |       |  |
| ERA5         | 0.5                  | 0.5   | 0.3   | 0.4    | -0.3  | 0.0    | 0.3   | 0.4     | 0.2   | 0.5   | -0.8  | -0.4  | 0.2       | -0.1  | 0.4     | -0.2 | 0.5   | 0.2   | 0.4   |  |
| PERSIANN     | 0.2                  | 0.0   | 0.1   | 0.0    | 0.1   | 0.1    | 0.1   | 0.1     | 0.1   | 0.1   | 0.1   | 0.1   | 0.1       | 0.0   | 0.0     | 0.0  | 0.0   | 0.1   |       |  |
| d            | 0.6                  | 0.6   | 0.4   | 0.5    | 0.7   | 0.4    | 0.4   | 0.5     | 0.5   | 0.4   | 0.6   | 0.4   | 0.2       | 0.4   | 0.5     | 0.5  | 0.5   | 0.5   | 0.4   |  |
| GPM          | 0.4                  | 0.3   | 0.3   | 0.3    | 0.4   | 0.4    | 0.3   | 0.4     | 0.2   | 0.2   | 0.3   | 0.3   | 0.2       | 0.2   | 0.2     | 0.3  | 0.2   | 0.1   | 0.4   |  |
| ERA5         | 0.7                  | 0.7   | 0.6   | 0.6    | 0.7   | 0.7    | 0.8   | 0.6     | 0.7   | 0.7   | 0.5   | 0.5   | 0.7       | 0.6   | 0.6     | 0.8  | 0.7   | 0.4   | 0.6   |  |
| PERSIANN     | 0.3                  | 0.3   | 0.2   | 0.2    | 0.4   | 0.3    | 0.3   | 0.3     | 0.2   | 0.3   | 0.3   | 0.3   | 0.2       | 0.2   | 0.5     | 0.1  | 0.2   | 0.3   |       |  |



شکل ۲- مقادیر شاخص‌های آماری و عملکرد بارندگی روزانه ایستگاه‌های باران سنج ثبات محدوده مورد مطالعه

Figure 2- Changes in the values of statistical indicators and daily rainfall performance of rain gauge stations in the study area

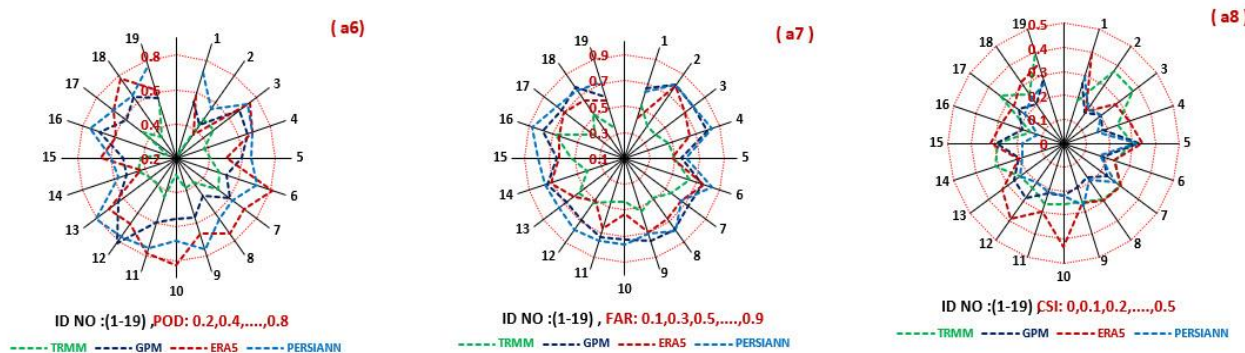
### شاخص‌های طبقه‌بندی

به منظور تعیین توان تشخیص روزهای همراه با پدیده بارش در ایستگاه‌های باران سنجی توسط سنجندها، از شاخص‌های جدول توافقی استفاده شد و مقادیر آن‌ها محاسبه و در جدول ۵ ارائه شده است. بر اساس نتایج به دست آمده و با استفاده از شکل ۳ به ارزیابی توان تشخیص روزهای بارانی، نسبت هشدار اشتباہ و شاخص موفقیت بحرانی در این ایستگاه‌ها مبادرت شد. پایگاه داده PERSIANN در احتمال تشخیص روزهای بارانی (POD)، تقریباً در کلیه ایستگاه‌ها از برتری نسبی برخوردار بوده و TRMM دارای ضعف محسوسی در این زمینه است، ERA5 و TRMM دارای کمترین نسبت هشدار اشتباہ (FAR) در کلیه ایستگاه‌ها بوده و هر دو از نظر شاخص موفقیت بحرانی (CSI) دارای عملکردی مناسب ارزیابی شدند.

جدول ۵- شاخص‌های طبقه‌بندی در محل ایستگاه‌های باران سنجی ثبات وزارت نیرو واقع در استان خراسان رضوی

Table 5- Classification indices at the location of stability rain gauge stations of the Ministry of Energy located in Razavi Khorasan Province

| شاخص آماری | سنجنده / پایگاه داده | مشهد | آذربایجان غربی | آذربایجان شرقی | تبریز | بندرگز | تغز | گلستان | گلزاران | گنبد کاووس | قزوین | قم  | گوشیان | کاشمر | نهضوی | پویان | رشید | منطقه    |
|------------|----------------------|------|----------------|----------------|-------|--------|-----|--------|---------|------------|-------|-----|--------|-------|-------|-------|------|----------|
| 0.5        | POD                  | 0.4  | 0.5            | 0.3            | 0.4   | 0.4    | 0.4 | 0.4    | 0.3     | 0.4        | 0.4   | 0.5 | 0.5    | 0.4   | 0.4   | 0.5   | 0.5  | TRMM     |
| 0.6        |                      | 0.6  | 0.6            | 0.7            | 0.5   | 0.5    | 0.6 | 0.8    | 0.6     | 0.6        | 0.6   | 0.5 | 0.6    | 0.5   | 0.6   | 0.7   | 0.7  | GPM      |
| 0.6        |                      | 0.8  | 0.7            | 0.6            | 0.7   | 0.4    | 0.7 | 0.7    | 0.8     | 0.7        | 0.7   | 0.7 | 0.8    | 0.5   | 0.7   | 0.7   | 0.7  | ERA5     |
| 0.8        |                      | 0.6  | 0.7            | 0.8            | 0.6   | 0.6    | 0.8 | 0.8    | 0.8     | 0.7        | 0.8   | 0.6 | 0.6    | 0.7   | 0.7   | 0.7   | 0.7  | PERSIANN |
| 0.3        | FAR                  | 0.5  | 0.4            | 0.7            | 0.5   | 0.4    | 0.6 | 0.5    | 0.5     | 0.4        | 0.5   | 0.6 | 0.5    | 0.5   | 0.6   | 0.5   | 0.4  | TRMM     |
| 0.6        |                      | 0.8  | 0.7            | 0.8            | 0.6   | 0.7    | 0.7 | 0.7    | 0.7     | 0.8        | 0.8   | 0.6 | 0.6    | 0.8   | 0.8   | 0.7   | 0.8  | GPM      |
| 0.6        |                      | 0.7  | 0.7            | 0.6            | 0.6   | 0.7    | 0.6 | 0.5    | 0.7     | 0.7        | 0.7   | 0.8 | 0.5    | 0.6   | 0.7   | 0.7   | 0.8  | ERA5     |
| 0.7        |                      | 0.7  | 0.8            | 0.9            | 0.8   | 0.8    | 0.7 | 0.8    | 0.8     | 0.7        | 0.8   | 0.7 | 0.8    | 0.6   | 0.8   | 0.8   | 0.8  | PERSIANN |
| 0.4        | CSI                  | 0.3  | 0.3            | 0.2            | 0.3   | 0.3    | 0.2 | 0.2    | 0.3     | 0.3        | 0.3   | 0.2 | 0.2    | 0.4   | 0.4   | 0.2   | 0.4  | TRMM     |
| 0.3        |                      | 0.2  | 0.2            | 0.2            | 0.3   | 0.2    | 0.3 | 0.3    | 0.2     | 0.2        | 0.2   | 0.2 | 0.2    | 0.2   | 0.2   | 0.2   | 0.3  | GPM      |
| 0.4        |                      | 0.3  | 0.3            | 0.3            | 0.3   | 0.2    | 0.3 | 0.4    | 0.3     | 0.4        | 0.3   | 0.3 | 0.2    | 0.3   | 0.3   | 0.3   | 0.4  | ERA5     |
| 0.3        |                      | 0.2  | 0.2            | 0.1            | 0.2   | 0.2    | 0.2 | 0.2    | 0.3     | 0.2        | 0.3   | 0.2 | 0.2    | 0.2   | 0.2   | 0.2   | 0.3  | PERSIANN |

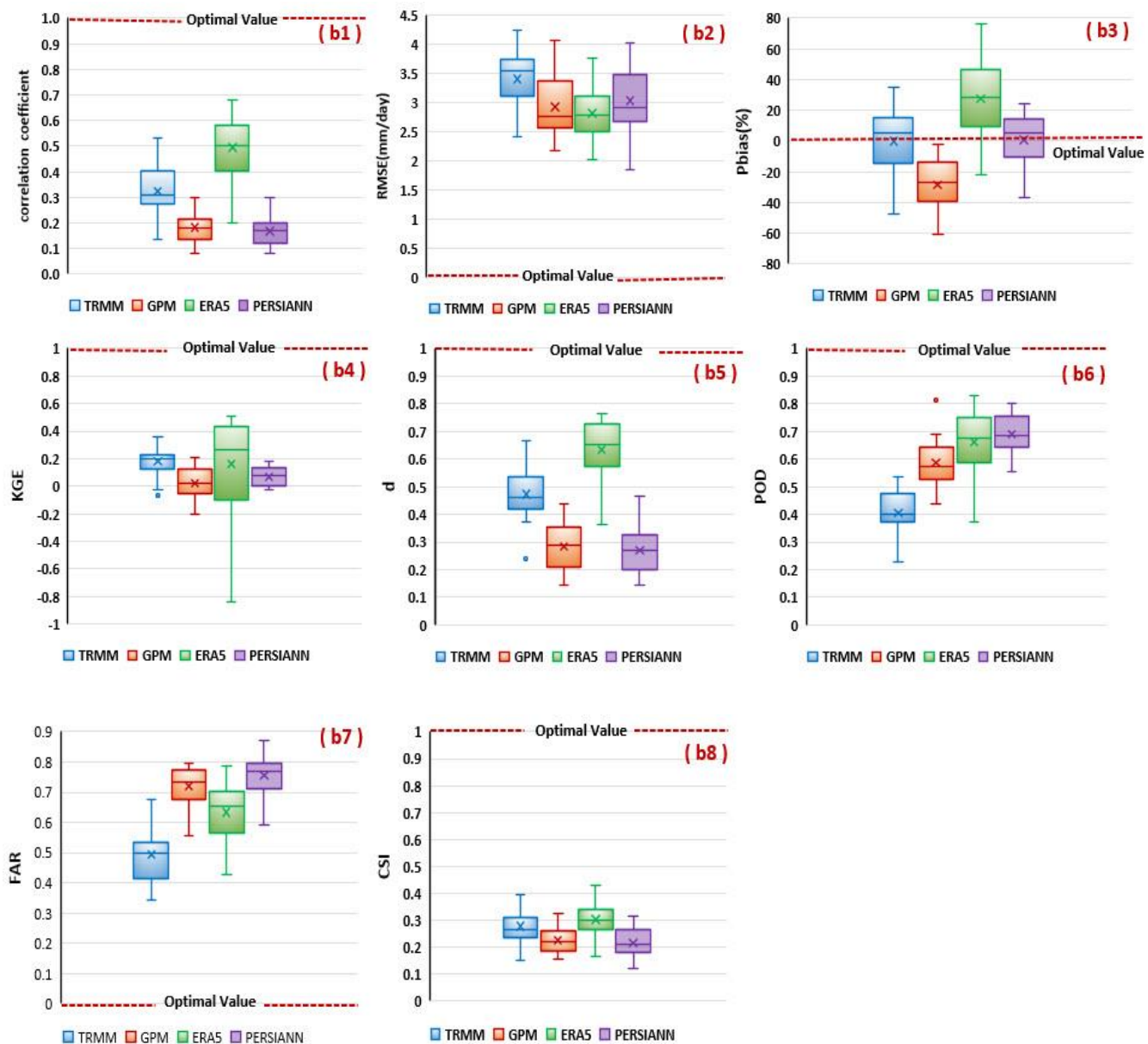


شکل ۳- تغییرات مقادیر شاخص‌های طبقه‌بندی بارندگی روزانه ایستگاه‌های باران سنج ثبات محدوده مورد مطالعه

Figure 3- Changes in the values of daily rainfall classification indices of the stability rain gauge stations of the studied area

برای مقایسه و ارزیابی شاخص‌های آماری، عملکردی و طبقه‌بندی محصولات ارائه شده توسط TRMM، GPM، ERA5 و PERSIANN از دیاگرام Box-Whisker استفاده به عمل آمد، با توجه به شکل ۴، دامنه تغییرات ضریب همبستگی (CC) بین ۰.۰۸ تا ۰.۶۸ متغیر است، کمترین همبستگی مربوط به داده‌های PERSIANN و GPM و بیشترین آن مربوط به محصول ERA5 است، به‌طوری‌که برای این پایگاه داده، در درصد ایستگاه‌ها، ضریب همبستگی بیشتر از  $4/4$  بوده و در بیش از ۵۰ درصد موارد ضریب بالاتر از  $0/5$  است. دامنه تغییرات RMSE بین  $1/84$  تا  $4/25$  میلی‌متر در روز متغیر است، به‌طوری‌که حد پایین آن مربوط به داده‌های PERSIANN و کران بالای آن به داده‌های TRMM اختصاص دارد. با توجه به ارزیابی شاخص‌های مرکزی می‌توان نتیجه گرفت که ERA5 عملکرد مناسب‌تری از خود نشان داده است، به‌گونه‌ای که در ۷۵ درصد ایستگاه‌ها، مقدار RMSE در این پایگاه داده، کمتر از  $3/1$  میلی‌متر در روز است. با توجه به شکل ۴، درصد سوگیری (Pbias)، تقریباً در کلیه ایستگاه‌ها، توسط ERA5 مثبت بوده و بیش برآورده است، در صورتی که GPM کاهش برآورد نسبت به مقادیر واقعی را نشان می‌دهد. کمترین و بیشترین درصد سوگیری مربوط به GPM و ERA5 به ترتیب به میزان  $7/6$ - $6/4$  درصد است، این در حالی است که TRMM و PERSIANN نیز در بیش از ۵۰ درصد موارد دارای جهت‌گیری مثبت هستند. مقادیر Pbias برای دو محصول TRMM و PERSIANN دارای تمرکز بیشتری حول صفر بوده، بنابراین دارای عملکرد مناسب‌تری هستند. شاخص عملکرد KGE در بازه  $0/8$ - $0/5$  دارای تغییر است، در درصد از ایستگاه‌ها، ERA5 دارای KGE بیش از  $0/3$  است، که در مقایسه با سایر محصولات مورد ارزیابی از عملکرد مناسب‌تری در تخمین بارش روزانه برخوردار است. شاخص توافق یکی دیگر از شاخص‌های تشخیص وضعیت عملکرد مدل‌ها در تولید داده است (شکل ۴)، این شاخص بین  $0/14$  تا  $0/76$  برای داده‌های تولید شده توسط چهار محصول مورد ارزیابی، متغیر است، کمترین مقدار آن مربوط به داده‌های GPM بوده و بیشترین مقدار آن، متعلق به داده‌های ERA5 است. در ۵۰ درصد ایستگاه‌ها، داده‌های تولید شده توسط ERA5 دارای شاخص توافق بیش از  $0/65$  است و این حیث محصولات مدل شده توسط ERA5 از عملکرد مطلوب‌تری برخوردار است.

نمودارهای شاخص‌های طبقه‌بندی برای تعیین عملکرد محصولات ارائه شده توسط TRMM، GPM، ERA5 و PERSIANN در تشخیص روزهای همراه با بارندگی در شکل ۴ ارائه شده است. دامنه تغییرات احتمال تشخیص (POD) روز بارانی چهار محصول مورد ارزیابی، بین  $0/2$  تا  $0/8$  تغییر می‌کند که پایین‌ترین و بالاترین این شاخص به ترتیب متعلق به TRMM و ERA5 است. در نیمی از ایستگاه‌ها، ERA5 و PERSIANN با احتمال  $6/8$  درصد قادر به تشخیص روز بارانی بوده‌اند، PERSIANN با توجه به دامنه تغییرات محدود‌تر، نسبت به ERA5، در این خصوص برتری نسبی دارد. نسبت هشدار اشتباہ (FAR) یکی دیگر از معیارهای طبقه‌بندی است، حداقل و حداکثر میزان تغییرات برای این شاخص بین  $0/34$  تا  $0/87$  متغیر است، که به ترتیب به TRMM و PERSIANN اختصاص دارد، با توجه به این که در ۵۰ درصد ایستگاه‌ها، TRMM دارای نسبت هشدار اشتباہ با احتمال کمتر از  $0/5$  هستند، بنابراین TRMM نسبت به سایر سنجنده‌ها و پایگاه‌های داده از عملکرد نسبی بهتری در این خصوص برخوردار بوده و ERA5 بعد از TRMM قرار گرفته است. علاوه بر این، شاخص موفقیت بحرانی (CSI) برای ایستگاه‌ها، بین  $0/43$  تا  $0/12$  متغیر بوده که کمترین و بیشترین آن به ترتیب مربوط به ERA5 و PERSIANN است. با توجه به مقادیر آماری به دست آمده از شاخص موفقیت بحرانی (CSI)، برای ۵۰ درصد ایستگاه‌های مورد ارزیابی، این شاخص برای ERA5 بیش از  $0/27$  برآورده شد که در مقایسه با سایر محصولات مورد ارزیابی از برتری نسبی برخوردار بود.



شکل ۴- نمودار پاکس-ویسکر شاخص‌های آماری، عملکرد و طبقه‌بندی پارندگی روزانه

**Figure 4 - Box-Whisker diagram of statistical indicators, performance and classification of daily rainfall**

## ارزیابی متوسط شاخص‌های آماری و طبقه‌بندی در سطح استان

به منظور دستیابی به متوسط تغییرات شاخص‌های آماری در سطح محدوده مورد مطالعه و ارزیابی محصولات ERA5، GPM، TRMM و PERSIANN در استان خراسان رضوی، میانگین شاخص‌های آماری و طبقه‌بندی برای ۱۹ ایستگاه مورد استفاده محاسبه و در جدول ۶ آرائه شد. با توجه به شکل ۵ به طور متوسط در سطح استان خراسان رضوی، محصولات ERA5 با ضریب همیستگی  $0.5/0$  و RMSE برابر  $2/8$  میلی‌متر در روز، دارای عملکرد نسبی بهتری در میان محصولات مورد ارزیابی است، از نظر سوگیری نسبی (Pbias)، TRMM و PERSIANN به ترتیب با  $2/4$  و  $3/4$ - درصد انحراف، عملکرد مناسب‌تری را از خود نشان داده‌اند. متوسط شاخص‌های ارزیابی و عملکرد KGE و d نشان از برتری عملکرد ERA5 در تولید داده در سطح استان خراسان رضوی دارد. متوسط مقادیر شاخص‌های طبقه‌بندی در سطح استان خراسان رضوی، گویای برتری ERA5 در احتمال تشخیص (POD) و شاخص موفقیت بحرانی (CSI) بوده و هم‌باگاه داده، بعد از TRMM کمتر ن. نسبت هشدار، اشتباه، داشته است.

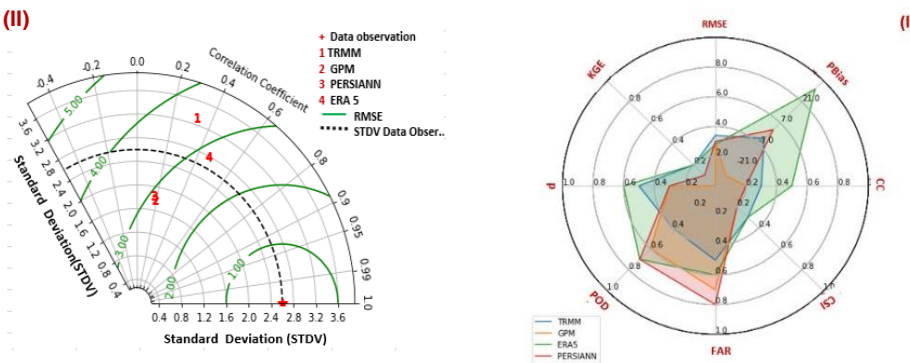
علاوه بر معیارهای فوق برای تشخیص بهترین سنجنده و یا پایگاه داده، که بتواند به طور متوسط در سطح محدوده مطالعاتی مقادیر بارش روزانه را برآورد نماید، از دیاگرام تیلور نیز استفاده شد. شکل ۵ به خوبی نشان داد که پایگاه داده ERA5 به طور متوسط عملکرد مناسب‌تری

نسبت به سایر داده‌های موردارزیابی در ارائه بارش روزانه داشته است، زیرا دارای بالاترین ضریب همبستگی (CC)، کمترین جذر میانگین مربع خطاهای (RMSE) و همچنین انحراف معیاری ( $^1\text{STDV}$ )<sup>۱</sup> نزدیک به داده‌های مشاهداتی است.

جدول ۶- متوسط مقادیر شاخص‌های آماری، عملکرد و طبقه‌بندی بارش روزانه در سطح استان خراسان رضوی

Table 6- Average values of statistical indicators, performance and classification of daily rainfall in Razavi Khorasan Province

| CSI | FAR | POD | D   | KGE | RMSE (mm) | Pbias (%) | CC  | سنجدۀ/پایگاه داده |
|-----|-----|-----|-----|-----|-----------|-----------|-----|-------------------|
| 0.3 | 0.5 | 0.4 | 0.5 | 0.2 | 3.4       | -3.4      | 0.3 | TRMM              |
| 0.2 | 0.7 | 0.6 | 0.3 | 0.0 | 2.9       | -28.2     | 0.2 | GPM               |
| 0.3 | 0.6 | 0.7 | 0.6 | 0.2 | 2.8       | 29.6      | 0.5 | ERA5              |
| 0.2 | 0.8 | 0.7 | 0.3 | 0.1 | 3.0       | 2.4       | 0.2 | PERSIANN          |



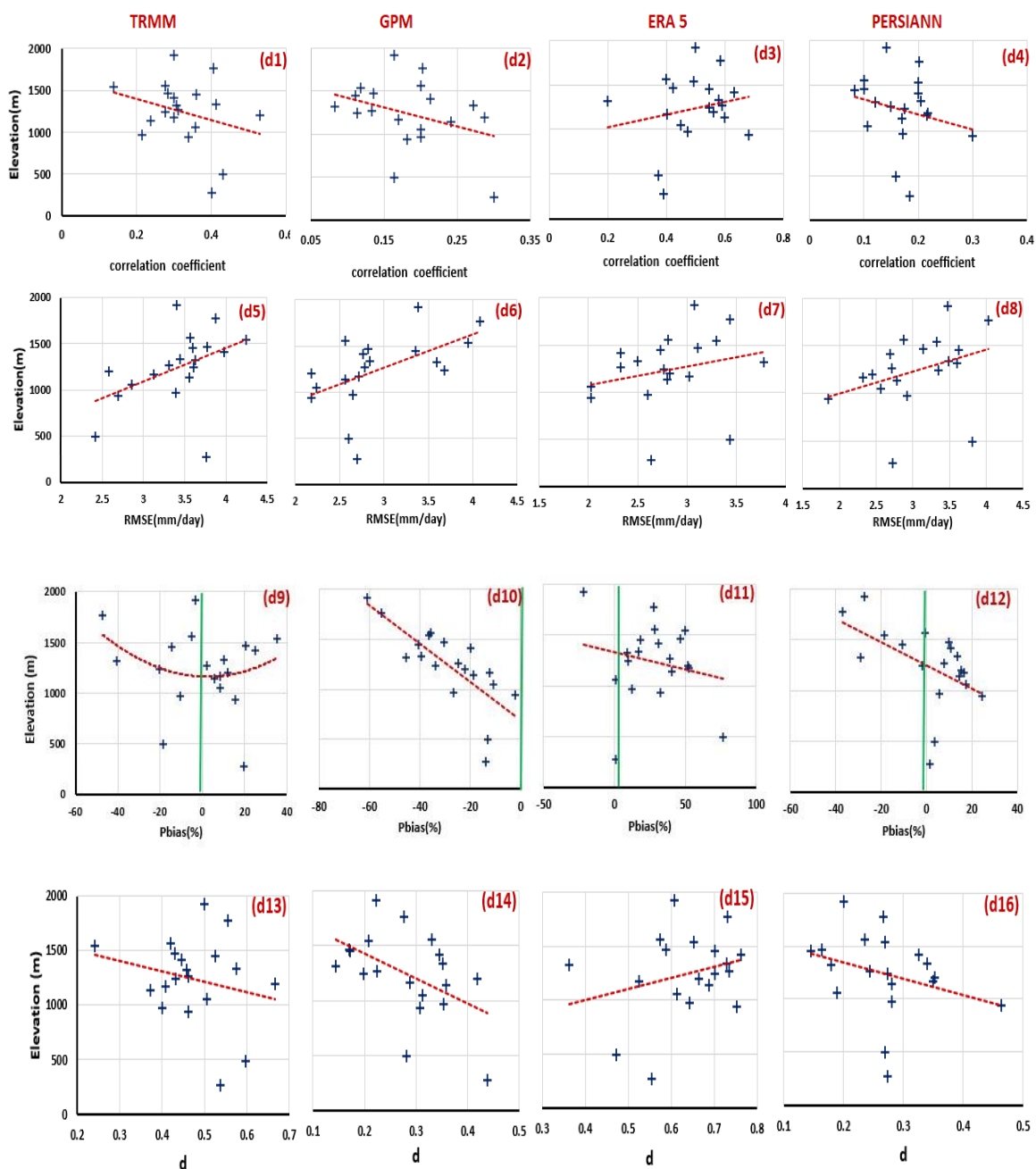
شکل ۵- تغییرات متوسط شاخص‌های آماری در سطح محدوده مورد مطالعه (I) و دیاگرام تیلور (II)

Figure 5- Average changes of statistical indicators at the level of the studied area (I) & Taylor Diagram (II)

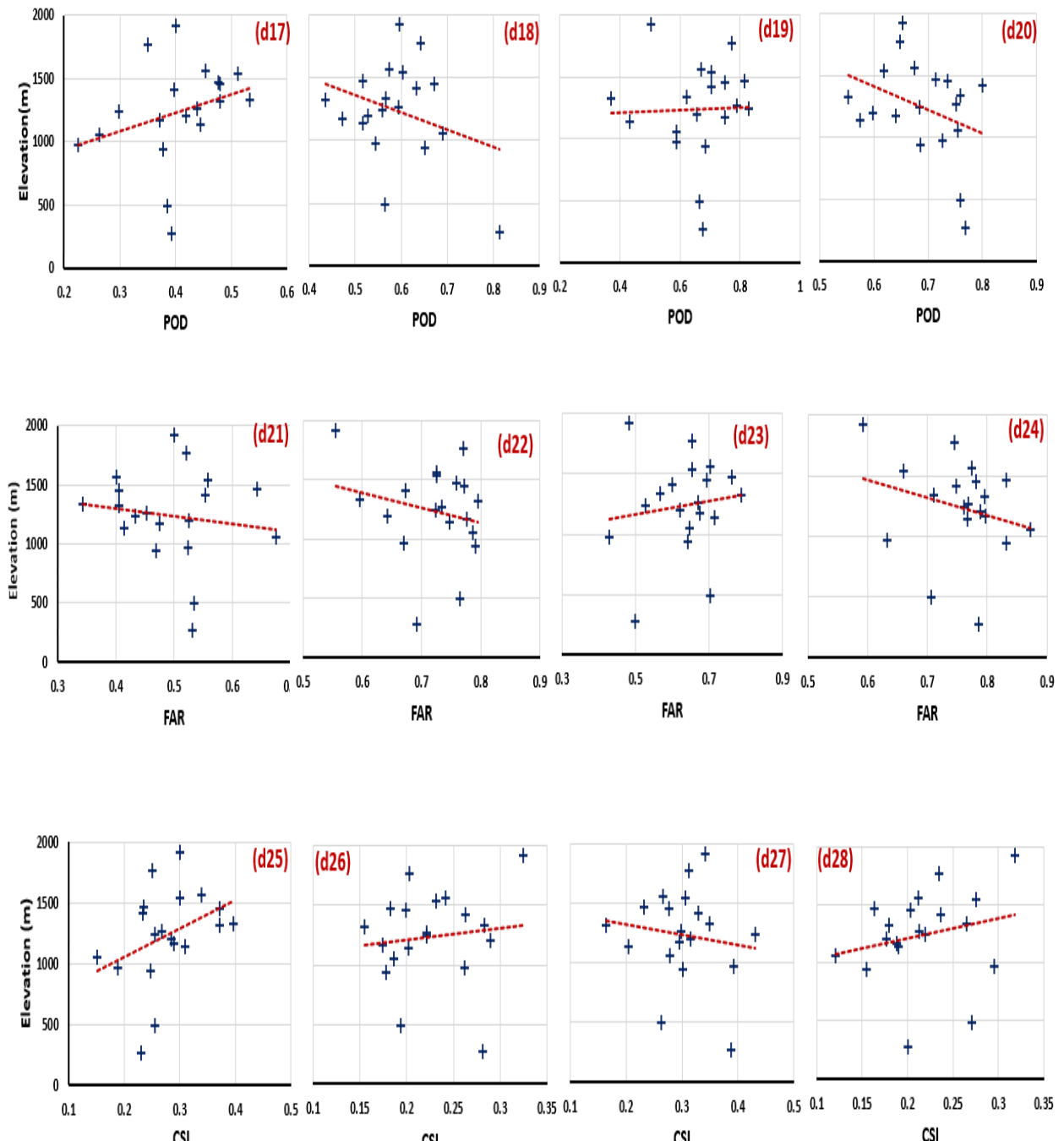
### ارزیابی عملکرد داده‌های مورد استفاده با ارتفاع

به منظور ارزیابی محصولات مورد استفاده در این پژوهش و تعیین روند تغییرات شاخص‌های آماری، عملکرد و طبقه‌بندی با تغییر ارتفاع در محدوده مورد مطالعه، اقدام به بررسی و روندیابی این تغییرات شد (شکل ۶ نمودارهای d1 تا d28). دامنه تغییرات ارتفاع ایستگاه‌های باران‌سنج مورد استفاده، بین ۱۹۲۰ تا ۳۷۳ متر از سطح دریا بوده و توزیع مکانی آن‌ها به‌گونه‌ای است که تقریباً بخش عمده‌ای از سطح این محدوده را پوشش می‌دهند. ضریب همبستگی (CC) در کلیه محصولات، با افزایش ارتفاع کاهش یافته به استثنای ERA5 که دارای روندی افزایشی با افزایش ارتفاع است (نمودار d1 تا d4)، RMSE در تمام ایستگاه‌های مورد ارزیابی، با افزایش ارتفاع، افزایش یافته اما این آهنگ در داده‌های ERA5 کندر از سایر محصولات است (نمودار d5 تا d8). درصد سوگیری (Pbias) در تمام محصولات با افزایش ارتفاع از مقدار بهینه (صفرا) فاصله گرفته اما در ERA5 با افزایش ارتفاع این جهت‌گیری به مقدار بهینه نزدیک‌تر می‌شود (نمودار d9 تا d12). شاخص توافق (d)، در سطح محدوده مورد مطالعه برای همه محصولات با افزایش ارتفاع روندی نزولی داشته اما ERA5 از این قاعده مستثنی بوده و با افزایش ارتفاع عملکرد بهتری از خود به نمایش گذاشته است (نمودار d13 تا d16). احتمال تشخیص روز بارانی (POD) با افزایش ارتفاع در GPM و PERSIANN روندی کاهشی دارد اما برای TRMM و ERA5 با افزایش ارتفاع افزایش داشته و بهتر عمل می‌کند، این افزایش در ERA5 با آهنگی کندر نسبت به TRMM صورت می‌گیرد (نمودار d17 تا d20). روند تغییرات نسبت هشدار اشتباہ (FAR) در برابر ارتفاع، در تمام محصولات، با افزایش ارتفاع، به مقدار بهینه (صفرا) نزدیک می‌شود اما این روند برای ERA5 عکس سایرین است (نمودار d20 تا d24). در رابطه با شاخص موفقیت بحرانی (CSI) نیز افزایش ارتفاع نقش موثری در بهبود عملکرد این شاخص در کلیه محصولات ایجاد نموده است اما در ERA5 با افزایش ارتفاع میزان این شاخص کاهش می‌یابد.

<sup>1</sup> Standard Deviation



شکل ۶- تغییرات شاخص‌های آماری و عملکرد بارندگی روزانه محصولات ماهواره‌ها و سنجنده‌های با ارتفاع در محدوده مورد مطالعه  
Figure 6– Changes in statistical indicators and daily rainfall performance of satellites and height gauges in the studied area



ادامه شکل ۶- تغییرات شاخص‌های آماری و عملکرد بارندگی روزانه محصولات ماهواره‌ها و سنجنده‌های با ارتفاع در محدوده مورد مطالعه

Continued Figure 6– Changes in statistical indicators and daily rainfall performance of satellites and height gauges in the studied area

### بحث

این تحقیق نشان داد که در مقیاس روزانه، داده‌های مورد ارزیابی، نتایج متفاوتی ارائه می‌دهند، هر چند از نظر وضوح زمانی و مکانی دارای تفاوت‌هایی هستند، اما نتایج، حاکی از آن است که سنجنده GPM علی‌رغم بهره‌مندی از تکنولوژی پیچیده‌تر و افزایش دقیق‌تر و بالا رفتن وضوح زمانی، در مقیاس روزانه از عملکرد ضعیف‌تری نسبت به سایر محصولات مورد ارزیابی برخوردار است و ERA5 به عنوان یک پایگاه داده از دقیق‌تر قابل قبولی بهره‌مند است.

منشأ اختلاف در دقیق‌تر می‌تواند، عدم استفاده از ایستگاه‌های زمینی یکسان در تولید نقشه‌های شبکه‌بندی بارش مورد استفاده در الگوی تصحیح داده‌های تخمینی مدل، باشد، همچنین عدم انطباق مقیاس مکانی بین نقشه‌های شبکه‌بندی شده بارش

ایستگاه‌های زمینی و محصولات تولید شده از دیگر مواردی است که می‌توان به آن اشاره نمود، بنابراین تغییر موقعیت مکانی، می‌تواند بر میزان دقت و عملکرد محصولات سنجنده‌ها و پایگاه‌های داده تأثیرگذار باشد، از این‌رو ارزیابی دقت آن‌ها در مکان‌های مختلف اجتناب‌ناپذیر است. تأثیر روند تغییرات بارش، از شرق به غرب و از جنوب به شمال در محدوده مطالعه، بر شاخص‌های آماری، عملکرد و طبقه‌بندی داده‌های مورد ارزیابی کاملاً محسوس بوده و به عنوان فاکتوری مهم در تحلیل‌های آماری باید مد نظر قرار گیرد. ارتفاع به عنوان دیگر پارامتر موثر بر تغییر شاخص‌های آماری، عملکرد و طبقه‌بندی در محدوده مورد مطالعه موردنظر ارزیابی واقع شد، محصولات مورد بررسی، واکنش و حساسیت‌های متفاوتی نسبت به تغییر ارتفاع از خود نشان داده به‌طوری که در بعضی افزایش ارتفاع، باعث کاهش عملکرد و دقت، در تخمین داده‌های بارش شده و در برخی دیگر منجر به افزایش دقت، عملکرد و طبقه‌بندی شده است.

تعداد کم و توزیع نامناسب ایستگاه‌های باران سنج ثبات در منطقه مورد مطالعه و تراکم آن‌ها در محدوده ارتفاعی ۱۰۰۰ تا ۱۵۰۰ متر از سطح دریا، باعث به وجود آمدن محدودیت در انجام مطالعات و نتایج به‌دست آمده شده است، همچنین بروز خشکسالی‌های متعدد در سال‌های اخیر در استان خراسان رضوی و پایان ماموریت سنجنده TRMM در همین دوره از یک سو و محدود بودن سنوات آماری سنجنده GPM از سوی دیگر منجر به کاهش دامنه عمل، در انتخاب سال‌های آماری مورد تحلیل، به سه سال شاخص، ترسالی، نرمال و خشکسالی شد.

حاجی میرحیمی و همکاران (۱۳۸۷)، میری و همکاران (۱۳۹۷) طی تحقیقات جداگانه بر روی کشور ایران از عدم کارایی و عملکرد GPM و TRMM در مقیاس روزانه خبر دادند که نتایج به‌دست آمده در این پژوهش در مورد GPM نظر ایشان را تایید می‌کند، همچنین، علی‌بخشی و همکاران (۱۳۹۶)، بی‌همتا و همکاران (۱۳۹۷)، صادقی و همکاران (۱۳۹۷)، اکبری و همکاران (۱۳۹۸) و پیرمرادیان و همکاران (۱۴۰۲) با مطالعه و ارزیابی داده‌های بارش روزانه GPM و TRMM در برابر داده‌های زمینی به عملکرد مناسب GPM در برابر TRMM اشاره داشته‌اند که نتایج حاصل از این تحقیق عکس موضوع را بیان می‌کند. عزیزی و همکاران (۱۳۹۹) و نجفی و همکاران (۱۴۰۱) با بررسی داده‌های بارش روزانه ERA5 و مقایسه آن با محصولات دیگر به دقت و عملکرد مناسب این پایگاه داده در کشور اذعان داشته‌اند که نتایج به‌دست آمده از این پژوهش نظرات ایشان را تایید می‌کند. تیرایی بروجردی (۱۳۹۲) و نجفی و همکاران (۱۴۰۱) عملکرد پایگاه داده پرشین را در کشور مناسب ارزیابی ننمودند که نتایج به‌دست آمده از این مطالعه با نظرات ایشان همسو است و نامناسب بودن داده‌های بارش روزانه پرشین را تایید می‌کند. لویی و همکاران (۲۰۱۷)، فنکلین ژو و همکاران (۲۰۱۹) مقادیر بارش روزانه TRMM و GPM را ارزیابی نموده و داده‌های آن‌ها را دارای سوگیری مشیت ارزیابی کرده اما لوی و همکاران (۲۰۲۰) داده‌های بارش روزانه GPM را دارای سوگیری منفی تشخیص داده و از عملکرد بهتر GPM نسبت به TRMM خبر داده‌اند، اما نتایج حاصل از این تحقیق سوگیری GPM را منفی و عملکرد TRMM نسبت به GPM بهتر ارزیابی نموده است.

مقادیر بارش پایگاه‌های داده قبل از ارائه، با شبکه بارش زمینی مقایسه شده و تصحیح بر روی آن‌ها صورت می‌پذیرد، اما آن‌چه در ارتباط با عملکرد مناسب‌تر پایگاه داده ERA5 می‌توان ابراز کرد این است که:

- مقادیر بارش این پایگاه داده با تأخیر اندکی نسبت به زمان واقعی باز تحلیل شده و تصحیحات لازم بر مقادیر خروجی اعمال می‌شود.
- شبکه بارش زمینی مورد استفاده در کالیبره نمودن داده‌های ERA5 از کیفیت و دقت بالایی برخوردار است.
- الگوریتم باز تحلیل مورد استفاده برای داده‌های ERA5، الگوریتم توامند است که به‌نظر می‌رسد تأثیر عوامل و پدیده‌های منطقه‌ای همچون توپوگرافی، پوشش گیاهی، طول و عرض جغرافیایی و دوری و نزدیکی به منابع آب به خوبی در آن لحاظ شده است.

## نتیجه‌گیری

این مطالعه ارزیابی جامعی از بارش روزانه TRMM، GPM و PERSIANN ERA5 در سطح استان خراسان رضوی در مقابل ۱۹ باران سنج ثبات متعلق به وزارت نیرو برای سه سال مرطوب، خشک و متوسط را ارائه نموده است. تغییرات مقادیر آماری شاخص‌های مرکزی، عملکرد و طبقه‌بندی را برای هر چهار محصول، مورد تجزیه و تحلیل قرار داده و اثر ارتفاع بر آن‌ها شناسایی شد. مهم‌ترین نتایج به‌دست آمده از این تحقیق عبارت است از:

- مقادیر شاخص‌های آماری برای داده‌های مورد ارزیابی، در محل ایستگاه‌ها دارای تغییرات نسبی زیاد بوده اما در مجموع ERA5 و TRMM دارای عملکرد بهتری نسبت به سایر سنجنده‌ها و پایگاه‌های داده هستند.
- میانگین و برآیند مقادیر شاخص‌های آماری بارش روزانه، در سطح منطقه مورد مطالعه، حاکی از دقت و عملکرد مناسب‌تر ERA5 بوده و سنجنده TRMM بعد از آن، بهترین عملکرد را به‌خود اختصاص داده است.
- عملکرد محصولات مورد ارزیابی در برابر تغییر ارتفاع متفاوت بوده به‌طوری که برخی محصولات، در مناطق پست دارای عملکرد مناسب هستند و بعضی دیگر با افزایش ارتفاع به مقادیر بهمنه نزدیک می‌شوند.

- با توجه به عملکرد مناسب ERA5 در استان خراسان رضوی توصیه می‌شود برای انجام مطالعاتی که زمان واقعی در آن‌ها از اهمیت کمتری برخوردار است، از مقادیر بارش روزانه این پایگاه داده استفاده شود.

با توجه به اهمیت موضوع و رشد فراینده استفاده از محصولات ماهواره‌ای در حوزه تحقیقات هواشناسی و علوم جوی و سرعت چشم‌گیر پیشرفت تکنولوژی در سنجش از دور، پیشنهاد می‌شود، مقادیر بارش‌های کوتاه‌مدت پایگاه‌های داده دیگر، با وضوح زمانی و مکانی متفاوت، مورد ارزیابی و تجزیه و تحلیل قرار گیرند. هم‌چنین، تأثیر اقلیم‌های مختلف در نتایج عملکرد محصولات سنجنده‌ها و پایگاه‌های داده، مسئله‌ای درخور توجه است که باید مورد بررسی و واکاوی قرار گیرد. هم‌چنین پیشنهاد می‌شود تأثیر عوامل مختلفی همچون، طول و عرض جغرافیایی، توپوگرافی، پوشش گیاهی، دوری و نزدیکی به منابع آب، بر مقادیر بارش ارائه شده توسط پایگاه‌های داده پرداخته شده و علت اختلاف بر مقادیر ارائه شده تجزیه و تحلیل شود.

### ملاحظات اخلاقی

**دسترسی به داده‌ها:** دسترسی به داده‌ها و نتایج استفاده شده در این پژوهش از طریق مکاتبه با نویسنده مسئول امکان‌پذیر است.

**حمایت مالی:** این پژوهش مستخرج از رساله دکتری می‌باشد و تحت حمایت دانشگاه فردوسی مشهد به انجام رسیده است.

**مشارکت نویسنده‌گان:** این پژوهش توسط مجید رجبی جاغرق به صورت طرح اولیه تهیه شد و سپس توسط سید محمد موسوی پایگی، سید علیرضا عراقی و هادی جباری نویابی اصلاح و تکمیل شد.

**تضاد منافع نویسنده‌گان:** نویسنده‌گان این مقاله اعلام می‌دارند که هیچ‌گونه تضاد منافعی در خصوص نگارش این پژوهش ندارند.

**سپاس‌گزاری:** از شرکت آب منطقه‌ای خراسان رضوی به دلیل همکاری صمیمانه در ارائه آمارهای اطلاعات مورد نیاز تشکر و قدردانی می‌شود.

### منابع

۱. حاجی میررحمی، سید محمود، و فیضی‌زاده، بختیار (۱۳۸۷). بررسی دقت داده‌های رادار زمینی و TRMM در برآورد بارش. همایش ژئوماتیک ۱۷ تهران. <https://civilica.com/doc/37057>

۲. کتیرایی بروجردی، پر سیما (۱۳۹۲). مقایسه داده‌های بارش ماهانه ماهواره‌ای و زمینی در شبکه‌ای با تفکیک زیاد روی ایران. [magiran.com/p1229158](http://magiran.com/p1229158), ۱۴۹-۱۶۰، ۷۴

۳. علی‌بخشی، سیده مریم، فرید حسینی، علی رضا، داوری، کامران، علیزاده، امین، و هنری، مونیکا (۱۳۹۶). ارزیابی داده‌های بارش زمینی، ماهواره GPM و MERRA (مطالعه موردی، حوضه آبریز کشف‌رود). پژوهشنامه مدیریت حوزه آبخیز، ۱۸(۹)، ۱۲۲-۱۱۱. <http://jwmr.sanru.ac.ir/article-1-740-fa.html>

۴. بی‌همتا، آرش، گوهرنژاد، حمید، و معظمی، صابر (۱۳۹۷). بررسی داده‌های بارش ماهواره‌های GPM و TRMM در مقیاس‌های روزانه، ماهانه و فصلی در شهر تهران. سنجش از دور و GIS ایران، ۱۰(۲)، ۴۵-۶۰. [https://gisj.sbu.ac.ir/article\\_96520.html](https://gisj.sbu.ac.ir/article_96520.html)

۵. میری، مرتضی، رحیمی، مجتبی، و نوروزی، علی اصغر (۱۳۹۷). ارزیابی دقت برآورد بارش روزانه پایگاه داده‌های TRMM و GPM در مقابل داده‌های مشاهداتی در ایران. مهندسی و مدیریت آبخیز، ۱۱(۴)، ۹۷۲-۹۸۳. <https://doi.org/10.22092/ijwmse.2018.121397.1469>

۶. اکبری، جواد، و کاظم‌زاده، مجید (۱۳۹۸) ارزیابی دقت توزیع مکانی بارش ماهواره 3B43 TRMM در اقلیم مختلف کشور ایران. علوم و مهندسی آبخیزداری ایران، ۱۳(۴۴)، ۷۳-۸۲. <http://jwmsei.ir/article-1-733-fa.html>

۷. صادقی، حمیدرضا، معصوم پورسماکوش، جعفر، و میری، مرتضی (۱۳۹۷). ارزیابی داده‌های دورسنجی GPM در مقابل داده‌های مشاهداتی (مورد مطالعه: غرب میانه ایران). سنجش از دور و GIS ایران، ۱۱(۲)، ۱۳۴-۱۱۵. <https://doi.org/10.52547/gisj.11.2.115>

۸. عزیزی، جوانشیر، رسول‌زاده، علی، رحمتی، اکبر، شایقی، افشین، و باختر، آیدین (۱۳۹۹). ارزیابی عملکرد داده‌های بازتحلیل شده ERA5 در تحلیل بارش روزانه و ماهانه در استان اردبیل. تحقیقات آب و خاک ایران، ۱۱(۵۱)، ۲۹۳۷-۲۹۵۱. <https://www.sid.ir/paper/402729/fa>

۹. نجفی، محمد سعید، و اکبری مقدم‌ثانی، سجاد (۱۴۰۱). ارزیابی کارایی سه پایگاه داده در برآورد سری زمانی بارش‌های حدی در ایران. پژوهش‌های تغییرات آب و هوایی، ۱۱(۳)، ۷۹-۹۸. <https://civilica.com/doc/1616873>

## References

- Akbari Chaharborj, J., & Kazemzadeh, M. (2019). Accuracy evaluation of rainfall distribution of TRMM 43B3 satellite in the different climates of Iran. *Iranian Journal of Watershed Management Science and Engineering*, 13(44), 73-82. [In Persian]
- Alibakhshi, S. M., Farid Hossini, A., Davari, K., Alizadeh, A., & Munyka, H. (2019). Assessment of Ground Station, GPM Satellite and MERRA Precipitation Products in Kashafrud Basin. *Journal of Watershed Management Research*, 9(18), 111-122. [In Persian]
- Azizi Mobaser, J., Rasoulzadeh, A., Rahmati, A., Shayeghi, A., & Bakhtari, A. (2021). Evaluating the Performance of Era-5 Re-Analysis Data in Estimating Daily and Monthly Precipitation, Case Study; Ardabil Province. *Iranian Journal of Soil and Water Research*, 51(11), 2937-2951. [In Persian]
- Ashouri, H., Hsu, K.-L., Sorooshian, S., Braithwaite, D.K., Knapp, K.R., Cecil, L.D., Nelson, B.R., & Prat, O.P. (2015). PERSIANN-CDR: Daily precipitation climate data record from multisatellite observations for hydrological and climate studies. *Bulletin of the American Meteorological Society*, 96, 69-83.
- Bihamta, A., Goharnejad, H., & Moazami, S. (2018). Study of precipitation data of GPM and TRMM satellites in daily, monthly and seasonal scales at Tehran. *Iranian Journal of Remote Sensing & GIS*, 10(2), 45-60. [In Persian]
- Duan, Z., Liu, J., Tuo, Y., Chiogna, G., & Disse, M. (2016). Evaluation of eight high spatial resolution gridded precipitation products in Adige Basin (Italy) at multiple temporal and spatial scales. *Science of the Total Environment*, 573, 1536-1553.
- Gupta, H. V., Kling, H., Yilmaz, K. K., & Martinez, G. F. (2009). Decomposition of the mean squared error and NSE performance criteria: Implications for improving hydrological modelling. *Journal of Hydrology*, 377(1-2), 80-91.
- Gupta Kling, H., Fuchs, M., & Paulin, M. (2012). Runoff conditions in the upper Danube basin under an ensemble of climate change scenarios. *Journal of Hydrology*, 424, 264-277.
- Haji Mir Rahimi, M., & Faizizadeh, B. (2017). Checking the accuracy of ground radar and TRMM data in precipitation estimation. *87<sup>th</sup> Tehran Geomatic Conference*. [In Persian]
- Hou, A. Y., Kakar, R. K., Neeck, S., Azarbarzin, A. A., Kummerow, C. D., Kojima, M., Oki, R., Nakamura, K., & Iguchi, T. (2014). The global precipitation measurement mission. *Bulletin of the American Meteorological Society*, 95(5), 701-722.
- Huffman, G., Bolvin, D. T., Braithwaite, D., Hsu, K., & Joyce, R. (2015). Algorithm theoretical basis document (ATBD) Version4. 5: For the NASA global precipitation measurement (GPM) integrated multi-satellite E Retrievals for GPM (IMERG), *GPM Project*.
- Huffman, G. J., Adler, R. F., Bolvin, D. T., & Nelkin, E. J. (2007). The TRMM multi-satellite precipitation analysis (TMPA): Quasi global, multiyear, combined-sensor precipitation estimate at fine scales. *Journal of Hydrometeorology*, 8, 38-55.
- Huffman, G. J., Bolvin, D. T., Braithwaite, D., Hsu, K., Joyce, R., Kidd, C., Nelkin, E. J., Sorooshian, S., Tan, J., and Xie, P. (2019). NASA global precipitation measurement (GPM) integrated multi-satellite retrievals for GPM (IMERG). In Algorithm Theoretical Basis Document (ATBD); NASA/GSFC: Greenbelt, MD, USA. Available online: [https://docserver.gesdisc.eosdis.nasa.gov/public/project/GPM/IMERG\\_ATBD\\_V06.pdf](https://docserver.gesdisc.eosdis.nasa.gov/public/project/GPM/IMERG_ATBD_V06.pdf) (accessed on 20 March 2021).
- Katiraei Boroujerdy, P. S. (2012). Comparison of high-resolution gridded monthly satellite and ground-based precipitation data over Iran. *Iranian Journal of Geophysics*, 74, 160-149. [In Persian]
- Kumar, L.S., Lee, Y.H., Yeo, J.X., & Ong, J.T. (2011). Tropical rain classification and estimation of rain from Z-R (reflectivity-rain rate) relationships. *Prog. Electromagn. Res. B*, 32, 107-127
- Kummerow, C., Barnes, W., Kozu, T., Shiue, J., & Simpson, J. (1998). The tropical rainfall measuring mission (TRMM) sensor package. *Journal of Atmospheric and Oceanic Technology*, 15(3), 809-817.
- Liu, J., Du, J., Yang, Y. and Wang, Y. (2020). Evaluating extreme precipitation estimations based on the GPM IMERG products over the Yangtze River Basin, China. *Geomatics, Natural Hazards and Risk*, 11(1), 601-618.
- Yi, L., Zhang, W. & Wang, K. (2018). Evaluation of heavy precipitation simulated by the WRF model using 4D-Var data assimilation with TRMM 3B42 and GPM IMERG over the Huaihe River Basin, China. *Remote Sensing*, 10(4), 646.
- Miri, M., Rahimi, M., & Noroozi, A. (2019). Evaluation and comparison of GPM and TRMM daily precipitation with observed precipitation across Iran. *Watershed Engineering and Management*, 11(4), 972-983. [In Persian]
- Mahmoud, M.T., Mohammed, S.A., Hamouda, M.A., & Mohamed, M.M. (2020). Impact of topography and rainfall intensity on the accuracy of IMERG precipitation estimates in an arid region. *Remote Sensing*, 13, 13.

21. Najafi, M. S., & Akbari Moghadam Sani, S. (2022). Evaluation the performance of three gridded datasets in estimating the time series of extreme precipitation in Iran. *Climate Change Research*, 3(11), 79-98. [In Persian]
22. Pirmoradian, R., Hashemi, H., & Fayne, J. (2022). Performance evaluation of IMERG and TMPA daily precipitation products over CONUS (2000–2019). *Atmospheric Research*, 279, 106389.
23. Rana, S.; McGregor, J.; Renwick, J. Precipitation seasonality over the Indian subcontinent: An evaluation of gauge, reanalyses, and satellite retrievals. *Journal of Hydrometeorology*, 2015, 16, 631–651.
24. Sadeghi, H. R., Masoompour, J., & Miri, M. (2019). The Evaluation of GPM Precipitation Remote Sensing Data with Observed Data (Case Study: Mid-West of Iran). *Iranian Journal of Remote Sensing & GIS*, 11(2), 115-124. [In Persian]
25. Sorooshian, S., Duan, Q., & Gupta, V. K. (1993). Calibration of rainfall-runoff models: Application of global optimization to the Sacramento Soil Moisture Accounting Model. *Water Resources Research*, 29(4), 1185-1194.
26. Sorooshian, S., Gao, X., Hsu, K., Maddox, R. A., Hong, Y., Gupta, H. V., & Imam, B. (2002). Diurnal variability of tropical rainfall retrieved from combined GOES and TRMM satellite information. *Journal of Climate*, 15(9), 983-1001.
27. Smith, E. A., 2007. International Global Precipitation Measurement (GPM) Program andMission: An overview, in: Levizzani, V., Bauer, P., and Turk, F. J.: Measuring Precipitation from Space: EURAINSAT and the Future. *Advances in Global Change Research*, 28, 611653, Springer, Dordrecht, Netherlands, 2007.
28. Tan, J., Petersen, W. A., & Tokay, A. (2016). A novel approach to identify sources of errors in IMERG for GPM ground validation. *Journal of Hydrometeorology*, 17(9), 2477-2491.
29. Willmott, C.J. (1985) Statistics for the evaluation and comparison of models. *Journal of Geophysical Research: Oceans*, 90(C5), 8995-9005.
30. Xu, F., Guo, B., Ye, B., Ye, Q., Chen, H., Ju, X., & Wang, Z. (2019). Systematical evaluation of GPM IMERG and TRMM 3B42V7 precipitation products in the Huang-Huai-Hai Plain. China. *Remote Sensing*, 11(6), 697.
31. Yu, L., Leng, G., Python, A., Peng, J. A. (2021). Comprehensive evaluation of latest GPM IMERG V06 early, late and final precipitation products across China. *Remote Sensing*, 13, 1208.